

**LAPORAN AKHIR  
PENELITIAN DASAR  
UNIVERSITAS LAMPUNG**



**OPTIMALISASI KEMURNIAN TiO<sub>2</sub> DARI HASIL EKSTRAKSI  
PASIR BESI LAMPUNG UNTUK PEMBUATAN LAPISAN TIPIS  
SEBAGAI BAHAN SENSITIF SENSOR GAS**

**TIM PENGUSUL**  
**Dr. rer. nat. Roniyus Marjunus, M.Si. : 6115538**  
**Iqbal Firdaus, S.Si., M.Si. : 67066491**

**PROGRAM STUDI FISIKA  
JURUSAN FISIKA  
FAKULTAS MATEMATIKA DAN ILMU PENGETAHUAN ALAM  
UNIVERSITAS LAMPUNG  
2021**

**HALAMAN PENGESAHAN**  
**PENELITIAN DASAR UNIVERSITAS LAMPUNG**

Judul Penelitian

Optimalisasi Kemurnian TiO<sub>2</sub> Dari Hasil Ekstraksi  
Pasir Besi Lampung Untuk Pembuatan Lapisan Tipis  
Sebagai Bahan Sensitif Sensor Gas

Manfaat sosial ekonomi

: Pemanfaatan bahan alam untuk teknologi

**Ketua Peneliti**

- a. Nama Lengkap
- b. Sinta ID
- c. Jabatan Fungsional
- d. Program Studi
- e. Nomor HP
- f. Alamat surel (e-mail)

: **Dr. rer. nat. Roniyus Marjunus, S.Si., M.Si.**

: 6115538

: Lektor Kepala

: Fisika

: 0812 9752 2926

: roniyus.1977@fmipa.unila.ac.id

**Anggota Peneliti (1)**

- a. Nama Lengkap
- b. Sinta ID
- c. Program Studi

: **Iqbal Firdaus, S.Si., M.Si.**

: 6706491

: Fisika FMIPA Unila

Jumlah mahasiswa yang terlibat

: Diah Purwarini (NPM: 2027042001)

: Adi Sucipto (NPM: 1817041043)

: -

: -

: Laboratorium Fisika Material Jurusan Fisika FMIPA

: 6 Bulan

: Rp. 20.000.000

: DIPA BLU Unila 2021

Jumlah alumni yang terlibat

Jumlah staf yang terlibat

Lokasi kegiatan

Lama kegiatan

Biaya Penelitian

Sumber dana

Bandar Lampung, 21 September 2021

Mengetahui,

Dekan FMIPA Universitas Lampung

Ketua Peneliti,



Dr. Eng. Suripto Dwi Yuwono, M.T.  
NIP. 197407052000031001

Dr. rer. nat. Roniyus Marjunus, M.Si.  
NIP. 197703182000121003

Menyetujui,  
Ketua LPPM Universitas Lampung



Dr. Ir. Lusmielia Afriani, D.E.A.  
NIP. 196505101990032008

## **DAFTAR ISI**

HALAMAN PENGESAHAN	2
DAFTAR ISI	3
RINGKASAN	4
1. PENDAHULUAN	6
2. TINJAUAN PUSTAKA	10
3. METODE PENELITIAN	12
4. HASIL DAN PEMBAHASAN	16
5. KESIMPULAN	29
DAFTAR PUSTAKA	30

## RINGKASAN

Dalam kehidupannya, manusia tidak bisa terbebas dari banyak jenis gas beracun dan berbahaya yang ada di sekitarnya. Di antara gas-gas tersebut adalah CO, H<sub>2</sub>, CO<sub>2</sub>, NO<sub>2</sub>, NH<sub>4</sub>, SO<sub>2</sub> dan sebagainya. Oleh sebab itu diperlukan adanya sensor untuk mendeteksi keberadaan gas-gas tersebut.

Di antara sekian banyak jenis sensor yang sudah ada, salah satunya adalah sensor zat padat. Ada dua sub jenis sensor zat padat yaitu sensor berbasis hambatan dan berbasis perubahan fungsi kerja. Terdapat beberapa kelemahan dari sensor berbasis hambatan tersebut: Alih-alih berhadapan dengan kelemahan-kelemahan yang ada pada sensor berbasis hambatan ini, jenis sensor zat padat yang kedua dapat dijadikan sebagai alternatif, yaitu *field effect gas sensor* (sensor gas berbasis efek medan) atau *work function change based sensor* (sensor berbasis perubahan fungsi kerja).

Salah satu bahan yang sudah banyak digunakan sebagai bahan sensitif untuk gas sensor namun dalam jenis sensor berbasis hambatan adalah TiO<sub>2</sub>. Berdasarkan penelusuran literatur, TiO<sub>2</sub> sudah terbukti dapat menjadi bahan sensitif untuk berbagai sensor gas.

Dengan memperhatikan *state of the art* penelitian TiO<sub>2</sub> sebagai bahan sensitif untuk sensor gas tersebut di atas, maka upaya mencari bahan alami sebagai sumber TiO<sub>2</sub> menjadi hal yang penting untuk menunjang perkembangan teknologi sensor gas berbasiskan fungsi kerja menggunakan TiO<sub>2</sub> dalam bentuk lapisan tipis tersebut. Salah satu bahan alam yang melimpah di Provinsi Lampung tersebut adalah pasir besi. Pasir besi merupakan mineral yang banyak mengandung senyawa besi oksida, misalnya magnetit (Fe<sub>3</sub>O<sub>4</sub>), ilmenit (FeTiO<sub>3</sub>), hematit (Fe<sub>2</sub>O<sub>3</sub>) dan mineral lain seperti alumina serta silika dalam jumlah sedikit. Ekstraksi ilmenit dari pasir besi dilakukan dengan cara *roasting* dan sintering. Selanjutnya TiO<sub>2</sub> dapat diperoleh dengan melakukan proses *leaching* (pelindian) pada ilmenit. Kemudian TiO<sub>2</sub> yang telah diperoleh didiposisikan menjadi lapisan tipis pada substrat kaca menggunakan metode *chemical bath deposition*.

Berdasarkan pemaparan di atas, maka penelitian ini ditujukan untuk membuat lapisan tipis TiO<sub>2</sub> dari pasir besi yang ada di Provinsi Lampung. Pada penelitian sebelumnya, telah dilakukan variasi durasi *leaching* yaitu 2, 3, 4, 5 dan 6 jam. Dari variasi tersebut diperoleh hasil tingkat kemurnian tertinggi (60,701%) diperoleh pada durasi *leaching* selama 2 jam dan suhu *leaching* 110 °C. Dari hasil itu juga terbukti bahwa *leaching* HCl memang berperan besar dalam meningkatkan kemurnian TiO<sub>2</sub> yang diperoleh.

Berdasarkan penelitian yang telah dilakukan, dapat disimpulkan beberapa hasil sebagai berikut. Berdasarkan hasil analisis data XRF dan XRD, variasi konsentrasi HCl berpengaruh pada tingkat kemurnian TiO<sub>2</sub> yang diperoleh dari proses *leaching*. Tingkat kemurnian terbesar diperoleh dengan menggunakan 12 M HCl pada suhu 110°C yaitu sebesar 33,737%. Tingkat kemurnian yang diperoleh menggunakan 12 M HCl pada suhu 70°C belum bisa menyamai penelitian sebelumnya yaitu 60,701 %. Berdasarkan hasil analisis data XRF dan XRD, variasi konsentrasi NaHCO<sub>3</sub> berpengaruh pada tingkat kemurnian TiO<sub>2</sub> yang diperoleh dari proses *leaching*. Tingkat kemurnian terbesar diperoleh dengan menggunakan rasio antara pasir besi dan NaHCO<sub>3</sub> sebesar 1:10 pada suhu 110°C yaitu sebesar 30,946%. Variasi massa TiO<sub>2</sub> yang digunakan dalam penelitian ini tidak berpengaruh secara signifikan terhadap resistivitas lapisan tipis yang diperoleh. Nilai resistivitas lapisan tipis yang diperoleh masih sangat tinggi

dibandingkan dengan orde resistivitas  $\text{TiO}_2$  sebagai semikonduktor karena masih rendahnya kadar  $\text{TiO}_2$  yang didapatkan pada penelitian ini.

Adapun saran-saran untuk penelitian yang akan datang adalah sebagai berikut. Untuk meningkatkan kemurnian  $\text{TiO}_2$ , maka disarankan untuk menggunakan medan magnet sebelum proses *leaching* dilakukan. Metode pembuatan lapisan tipis hendaknya tidak lagi menggunakan metode CBD (*Chemical Bath Deposition*) karena tidak bisa menghasilkan lapisan tipis yang merata pada substrat. Metode lain yang bisa digunakan misalnya adalah menggunakan *spin coater*. Substrat yang digunakan hendaknya *silicon wafer*, karena akan memudahkan dalam proses pemotongan sampel untuk berbagai kepentingan lain.

## BAB 1. PENDAHULUAN

### 1.1 Latar Belakang

Dalam kehidupannya, manusia tidak bisa terbebas dari banyak jenis gas beracun dan berbahaya yang ada di sekitarnya. Di antara gas-gas tersebut adalah CO, H<sub>2</sub>, CO<sub>2</sub>, NO<sub>2</sub>, NH<sub>4</sub>, SO<sub>2</sub> dan sebagainya. Oleh sebab itu diperlukan adanya sensor untuk mendeteksi keberadaan gas-gas tersebut.

Sensor yang terkategorii bagus adalah sensor yang memiliki 4 “high” dan 3 “low” yaitu *high sensitivity* (sensitivitas tinggi), *high selectivity* (selektifitasnya tinggi), *high stability* (stabilitasnya tinggi), *high signal/noise ratio* (ratio *signal/noise*-nya tinggi), *low power consumption* (rendah konsumsi energinya), *low weight* (ringan massanya) dan *low price* (murah harganya (Senft et al, 2011). Kriteria-kriteria ini selalu diupayakan untuk dapat dicapai dalam dunia riset sensor.

Di antara sekian banyak jenis sensor yang sudah ada, salah satunya adalah sensor zat padat. Ada dua sub jenis sensor zat padat yaitu sensor berbasis hambatan dan berbasis perubahan fungsi kerja (Capone et al, 2004). Terdapat beberapa kelemahan dari sensor berbasis hambatan tersebut yaitu (Eisele and Burgmair, 2000) yaitu:

1. Sensor jenis ini tidak dapat menggunakan logam sebagai bahan sensitifnya karena logam memiliki hambatan jenis yang rendah.
2. Sensor jenis ini tidak dapat mendeteksi penyerapan kimia (*chemisorbed*) atau penyerapan fisika (*physisorbed*) gas yang berikatan lemah pada suhu kamar hingga suhu tinggi.
3. Sensor jenis ini biasanya membutuhkan pemanasan. Kalau pun ada jenis bahan yang bisa digunakan pada suhu kamar, maka biasanya sensor tersebut hanya sensitif untuk konsentrasi tinggi, hal ini berakibat tidak terpenuhinya salah satu syarat dari sensor yang baik tadi yaitu *high sensitivity* (sensitifnya tinggi).
4. Tingginya suhu kerja sensor jenis ini berdampak pada tingginya energy yang dikonsumsi oleh sensor jenis ini.

Alih-alih berhadapan dengan kelemahan-kelemahan yang ada pada sensor berbasis hambatan ini, jenis sensor zat padat yang kedua dapat dijadikan sebagai alternatif, yaitu *field effect gas sensor* (sensor gas berbasis efek medan) atau *work function change based sensor* (sensor berbasis perubahan fungsi kerja ) (Capone et al., 2004). Sensor jenis ini membutuhkan transduser yang disebut *Floating Gate Field Effect Transistor* (FGFET) sebagai transdusernya (Senft et al, 2011), sehingga bahan sensitifnya haruslah berbentuk lapisan tipis dengan

ketebalan beberapa nano meter karena bahan sensitif tersebut akan diletakkan sebagai *gate* pada FGET tersebut.

Beberapa kelebihan dari sensor berbasis perubahan fungsi kerja ini adalah sebagai berikut (Eisele dan Burgmair, 2000):

1. Sensor jenis ini dapat menggunakan berbagai jenis material termasuk logam sebagai bahan sensitifnya.
2. Sensor jenis ini dapat mendeteksi penyerapan kimia (*chemisorbed*) atau penyerapan fisika (*physisorbed*) gas yang berikatan lemah pada suhu kamar hingga suhu tinggi.
3. Sensor jenis ini tidak membutuhkan pemanasan.
4. Sensor jenis ini mengkonsumsi energi yang cukup rendah.

Salah satu bahan yang sudah banyak digunakan sebagai bahan sensitif untuk gas sensor namun dalam jenis sensor berbasis hambatan adalah TiO<sub>2</sub>. Berdasarkan penelusuran literatur, TiO<sub>2</sub> sudah terbukti dapat menjadi bahan sensitif untuk sensor gas hidrogen / H<sub>2</sub> (Li et al, 2018), (Maziarz, 2016), (Tang et al, 1995), karbon monoksida / CO (Pozos et al, 2018), karbon dioksida / CO<sub>2</sub> (Raza et al, 2018), belerang dioksida / SO<sub>2</sub> (Nisar et al, 2013), oksigen / O<sub>2</sub> dan etanol / C<sub>2</sub>H<sub>5</sub>OH (Tang et al, 1995) dan lain sebagainya.

Dengan memperhatikan *state of the art* penelitian TiO<sub>2</sub> sebagai bahan sensitif untuk sensor gas tersebut di atas, maka upaya mencari bahan alami sebagai sumber TiO<sub>2</sub> menjadi hal yang penting untuk menunjang perkembangan teknologi sensor gas berbasiskan fungsi kerja menggunakan TiO<sub>2</sub> dalam bentuk lapisan tipis tersebut. Salah satu bahan alam yang melimpah di Provinsi Lampung tersebut adalah pasir besi. Cadangan pasir besi di Lampung, Aceh, Bengkulu, Jawa dan Bali adalah 158.893.645 ton dengan kandungan TiO<sub>2</sub> nya sebanyak 5,4 – 23,17% (Hilman dkk, 2014). Pasir besi merupakan mineral yang banyak mengandung senyawa besi oksida, misalnya magnetit (Fe<sub>3</sub>O<sub>4</sub>), ilmenit (FeTiO<sub>3</sub>), hematit (Fe<sub>2</sub>O<sub>3</sub>) dan mineral lain seperti alumina serta silika dalam jumlah sedikit (Hilman dkk, 2014). Ekstraksi ilmenit dari pasir besi dilakukan dengan cara *roasting* dan sintering (Ermawati dkk, 2011). Selanjutnya TiO<sub>2</sub> dapat diperoleh dengan melakukan proses *leaching* (pelindian) pada ilmenit (Wahyuningsih et al, 2018). Kemudian TiO<sub>2</sub> yang telah diperoleh didiposisikan menjadi lapisan tipis pada substrat kaca menggunakan metode *chemical bath deposition* (Manurung et al, 2013).

Pada penelitian sebelumnya, telah dilakukan variasi durasi *leaching* yaitu 2, 3, 4, 5 dan 6 jam. Dari variasi tersebut diperoleh hasil bahwa ketergantungan tingkat kemurnian (*TK* dalam %)  $TiO_2$  yang diperoleh terhadap durasi *leaching* (*t*) dapat didekati dengan polinomial pangkat tiga yaitu  $TK = at^3 + bt^2 + ct + d$ , dengan  $a = 2,1\%/\text{jam}^3$ ;  $b = -20,4\%/\text{jam}^2$ ;  $c = 54,6\%/\text{jam}$  dan  $d = 14,3\%$ . Tingkat kemurnian tertinggi (60,701%) diperoleh pada durasi *leaching* selama 2 jam. Sedangkan pada variasi suhu *leaching* diperoleh tingkat kemurnian tertinggi pada suhu 110 °C sebesar 60,701%. Dari hasil itu juga terbukti bahwa *leaching* HCl memang berperan besar dalam meningkatkan kemurnian  $TiO_2$  yang diperoleh (Marjunus, 2020).

Berdasarkan hasil penelitian yang telah diperoleh sebelumnya, penelitian ini ditujukan untuk meningkatkan kemurnian  $TiO_2$  yang diperoleh dari pasir besi Lampung tersebut dengan:

1. modifikasi menggunakan penangas berbasis *oil bath* untuk memaksimalkan proses pemanasan ketika ekstraksi  $TiO_2$  dari pasir besi.
2. menutup beaker gelas saat proses leaching agar tidak ada HCl yang menguap dan menghilang dari beaker gelas.
3. pencucian bubuk  $TiO_2$  yang lebih intensif pasca proses *leaching*.
4. memvariasi konsentrasi HCl.

## 1.2 Permasalahan

Permasalahan dalam penelitian ini:

- a. Bagaimana kemurnian  $TiO_2$  menggunakan penangas *oil bath* dan penutupan beaker gelas, kemudian membandingkannya dengan penelitian sebelumnya?
- b. Bagaimana ketergantungan kemurnian  $TiO_2$  terhadap variasi konsentrasi HCl?
- c. Bagaimana karakteristik kristal, struktur mikro permukaan, komposisi senyawa dan hambatan jenis lapisan tipis  $TiO_2$  yang terbentuk dibandingkan dengan penelitian sebelumnya?

## 1.3 Tujuan Khusus

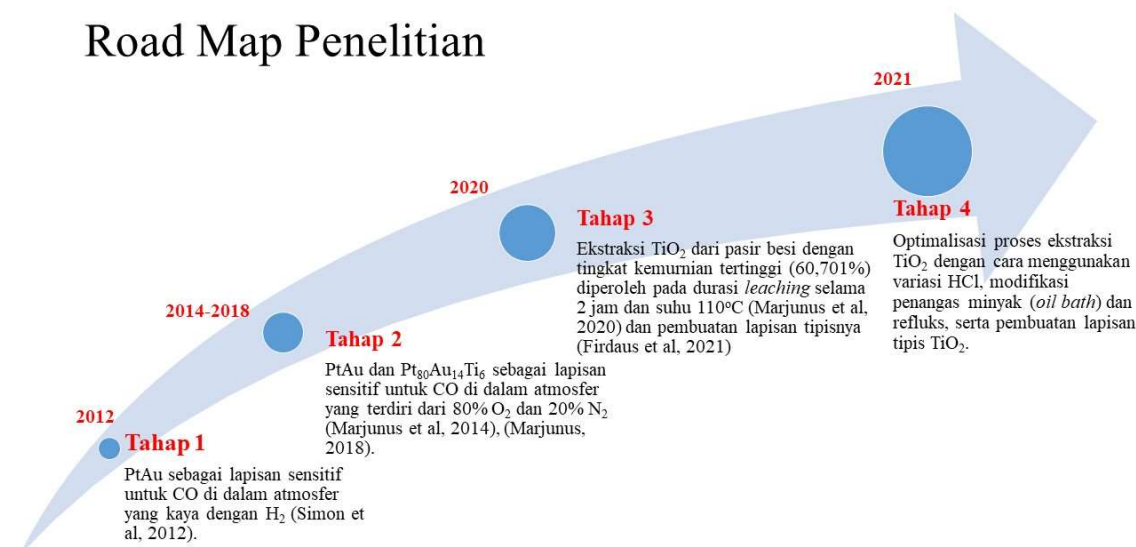
Adapun tujuan khusus yang ingin dicapai dalam penelitian ini adalah meningkatnya kemurnian  $TiO_2$  yang diperoleh dibandingkan dengan penelitian sebelumnya (60,701%) dan mendapatkan lapisan tipis  $TiO_2$  dengan hambatan jenis yang lebih rendah dari sebelumnya,  $5 \times 10^5 \Omega\cdot\text{cm}$  (Marjunus, 2020).

#### **1.4 Urgensi Penelitian**

Urgensi penelitian ini adalah sebagai lanjutan penelitian dan pengembangan teknologi sensor gas berbasiskan fungsi kerja di Jurusan Fisika FMIPA Universitas Lampung dengan memanfaatkan bahan alam yang ada dan kemampuan peralatan yang dimiliki oleh Jurusan FMIPA Universitas Lampung.

## BAB 2. TINJAUAN PUSTAKA

Proposal penelitian ini merupakan kelanjutan dari *road map* penelitian yang dilakukan oleh Ketua Peneliti sebagaimana diberikan pada Gambar 2.1. Ketua Peneliti telah melakukan penelitian tentang karakteristik paduan PtAu (Platinum-Emas) sebagai lapisan sensitif untuk sensor CO berbasis fungsi kerja PtAu di dalam atmosfer yang terdiri dari 80% O<sub>2</sub> dan 20% N<sub>2</sub> (Marjunus et al, 2014), (Marjunus, 2018). Penelitian tersebut diilhami oleh penelitian sebelumnya tentang karakteristik PtAu sebagai lapisan sensitif untuk sensor CO berbasis fungsi kerja di dalam atmosfer yang kaya dengan H<sub>2</sub> (Simon et al, 2012). Dilanjutkan dengan penelitian tentang karakteristik paduan Pt<sub>80</sub>Au<sub>14</sub>Ti<sub>6</sub> (Platinum, Emas dan Titanium) sebagai lapisan sensitif untuk sensor CO berbasis fungsi kerja Pt<sub>80</sub>Au<sub>14</sub>Ti<sub>6</sub> di dalam atmosfer yang terdiri dari 80% O<sub>2</sub> dan 20% N<sub>2</sub> (Marjunus et al, 2014), (Marjunus, 2018).



Gambar 2.1. *Road Map* Penelitian

Lalu dilanjutkan dengan penelitian terkait sensor gas dari ekstraksi TiO<sub>2</sub> berbasis pasir besi telah dilakukan variasi durasi *leaching* yaitu 2, 3, 4, 5 dan 6 jam. Dari variasi tersebut diperoleh hasil bahwa ketergantungan tingkat kemurnian (TK dalam %) TiO<sub>2</sub> yang diperoleh terhadap durasi *leaching* (*t*) dapat didekati dengan polinomial pangkat tiga yaitu  $TK = at^3 + bt^2 + ct + d$ , dengan  $a = 2,1\text{ \%}/\text{jam}^3$ ;  $b = -20,4\text{ \%}/\text{jam}^2$ ;  $c = 54,6\text{ \%}/\text{jam}$  dan  $d = 14,3\text{ \%}$ . Tingkat kemurnian tertinggi (60,701%) diperoleh pada durasi *leaching* selama 2 jam. Sedangkan pada variasi suhu *leaching* diperoleh tingkat kemurnian tertinggi pada suhu 110 °C sebesar 60,701%. Dari hasil

itu juga terbukti bahwa *leaching* HCl memang berperan besar dalam meningkatkan kemurnian TiO<sub>2</sub> yang diperoleh (Marjunus, 2020).

Ekstraksi TiO<sub>2</sub> dari pasir besi telah dilakukan dengan cara *roasting* dan sintering (Ermawati dkk, 2011). Selanjutnya TiO<sub>2</sub> dapat diperoleh dari pasir besi dengan melakukan proses *leaching* (pelindian) (Wahyuningsih et al, 2018). Kemudian TiO<sub>2</sub> yang telah diperoleh didiposisikan menjadi lapisan tipis pada substrat kaca menggunakan metode *chemical bath deposition* (Manurung et al, 2013), (Elfanaoui et al, 2011).

## BAB 3. METODE PENELITIAN

### 3.1. Tempat dan Waktu Penelitian

Penelitian ini dilaksanakan di Laboratorium Fisika Material Jurusan Fisika Fakultas Matematika dan Ilmu Pengetahuan Alam Universitas Lampung, disertai dengan menyewa *X-Ray Diffraction* (XRD), *X-Ray Fluorescence* (XRF), *furnace* dan *ball mill* di Balai Penelitian Teknologi Mineral (BPTM) Lembaga Ilmu Pengetahuan Indonesia (LIPI) Tanjung Bintang dan menyewa *Scanning Electron Microscopy* (SEM) di Laboratorium Terpadu dan Sentra Inovasi Teknologi Universitas Lampung. Total kegiatan penelitian ini akan menghabiskan waktu selama 8 bulan.

### 3.2. Alat dan Bahan Penelitian

Bahan - bahan yang digunakan untuk mengekstraksi TiO<sub>2</sub> dari pasir besi antara lain pasir besi diambil dari pesisir pantai barat Provinsi Lampung, NaHCO<sub>3</sub>, HCl, H<sub>2</sub>O<sub>2</sub>, substrat gelas, air bidest dan aquades.

Adapun peralatan yang dipakai antara lain: *ball mill*, *furnace*, *hot plate*, pengaduk magnet (*magnetic stirrer*), gelas Beaker kapasitas 2 l, cawan petri, termometer, *ultrasonic bath*, *X-Ray Fluorescence* (XRF) dan *X-Ray Diffraction* (XRD), *Scanning Electron Microscopy* (SEM).

### 3.3. Prosedur Penelitian

Prosedur penelitian terdiri dari karakterisasi pasir besi menggunakan XRF, ekstraksi TiO<sub>2</sub> dari pasir besi, *Chemical Bath Deposition* (CBD) dan karakterisasi menggunakan SEM, XRD dan XRF.

#### 3.3.1. Karakterisasi Kandungan Senyawa di Pasir Besi

Kandungan senyawa di dalam pasir besi terlebih dahulu dikarakterisasi menggunakan XRF.

#### 3.3.2. Ekstraksi TiO<sub>2</sub> dari Pasir Besi

Prosedur ekstraksi TiO<sub>2</sub> dari pasir besi menggunakan metode yang telah digunakan oleh Ermawati dkk (2011).

### **3.3.2.1. Preparasi Awal**

Preparasi awal meliputi pencucian, pengeringan dan penyaringan. Pada tahap pencucian, pasir besi dicuci dengan menggunakan aquades dan diaduk selama 5 menit. Kemudian, aquades yang sudah digunakan dalam proses pencucian tersebut dibuang. Pencucian diulangi sekali lagi. Pasir besi yang telah bersih dikeringkan di bawah sinar matahari. Sesudah kering, kemudian dilakukan penyaringan untuk menghilangkan pengotor yang tidak larut dalam aquades seperti serpihan kayu dan batuan.

### **3.3.2.2. Penghalusan**

Pasir besi dihaluskan dengan mortar, kemudian diayak dengan ayakan 200 mesh dan ditambahkan  $\text{NaHCO}_3$  dengan perbandingan 1: 2.

### **3.3.2.3. Pemurnian (Ekstraksi)**

Selanjutnya, pasir tersebut *roasting* pada suhu  $700^{\circ}\text{C}$  selama satu jam. Proses pelindian asam menggunakan  $\text{HCl}$  12 M dengan perbandingan pasir besi:  $\text{HCl} = 1: 4$ . Kemudian sampel ditempatkan dalam beaker glass yang berada di *hot plate* dan diaduk dengan magnetic stirrer. Pada proses pemanasan dimodifikasi dengan pengangas *oil bath* agar proses transfer energy panas berjalan dengan baik. Setelah  $\text{HCl}$  mendidih, pasir besi ditambahkan secara perlahan selama 2 jam dengan suhu pelindian  $110^{\circ}\text{C}$ . Proses selanjutnya adalah *water leaching* menggunakan aquades pada suhu  $80^{\circ}\text{C}$  selama 30 menit. Sedimen yang diperoleh kemudian dicuci berkali-kali menggunakan aquades untuk menghilangkan residu asam pada sampel. Langkah selanjutnya adalah menyaring sedimen yang diperoleh dengan kertas saring dengan menambahkan aquadest hingga warna kuning sedimen menghilang. Selanjutnya endapan yang dihasilkan dikeringkan dalam oven dengan suhu  $100^{\circ}\text{C}$  selama 30 menit untuk menghilangkan kadar air. Setelah proses pengeringan, dilakukan kalsinasi pada suhu  $480^{\circ}\text{C}$  dengan total waktu dua jam. Sampel dikarakterisasi menggunakan XRD (*X-Ray Diffraction*) dan XRF (*X-Ray Fluorescence*). Prosedur tersebut diulangi untuk berbagai variasi konsentrasi  $\text{HCl}$ .

### **3.3.3. Chemical Bath Deposition**

Prosedur pembuatan lapisan tipis  $\text{TiO}_2$  ini menggunakan prosedur yang sama seperti yang digunakan oleh Elfanaoui et al (2011). Tahap awalnya adalah bubuk  $\text{TiO}_2$  dilarutkan menggunakan  $\text{H}_2\text{O}_2$  dan diaduk dengan kecapatan konstan selama 25 menit sehingga didapatkan larutan merah yang jelas. Kemudian larutan disimpan dalam sebuah wadah di suhu kamar dan diaduk dengan kecepatan konstan. Lalu substrat gelas dibersihkan menggunakan

*ultrasonic bath* dengan cairannya adalah larutan aseton dan etanol, kemudian dicuci dengan air bidest dan akhirnya ditiup dengan gas nitrogen. Lalu substrat gelas dicelupkan secara vertikal ke dalam larutan TiO<sub>2</sub> tadi. Setelah 12 jam, substrat kemudian diangkat dari larutan, dicuci secukupnya dengan air bidest dan ditiup dengan gas nitrogen pada suhu ruang (25 °C). Lapisan tipis kemudian dikeringkan pada suhu 100°C selama jam lalu diannealing pada suhu 500 °C, 600 °C and 700 di udara selama 1 jam.

### 3.3.4. Karakterisasi Lapisan Tipis TiO<sub>2</sub>

Lapisan tipis TiO<sub>2</sub> yang telah diperoleh dikarakterisasi mikro strukturnya dengan SEM, dikarakterisasi sifat kristal/amorfnya dengan XRD dan komposisi senyawanya dengan XRF.

## 3.4. Luaran Penelitian

Luaran penelitian yang akan dicapai dalam penelitian ini adalah sebagai berikut:

1. Laporan Penelitian;
2. Satu artikel ilmiah yang dimuat dalam Prosiding konferensi internasional yang terindeks SCOPUS;
3. Satu artikel yang dipresentasikan dalam pertemuan ilmiah yang diselenggarakan LPPM Unila.

## 3.5. Rencana Target Capaian

Adapun rencana target yang ingin dicapai pada penelitian ini seperti dituangkan dalam Tabel 3.1.

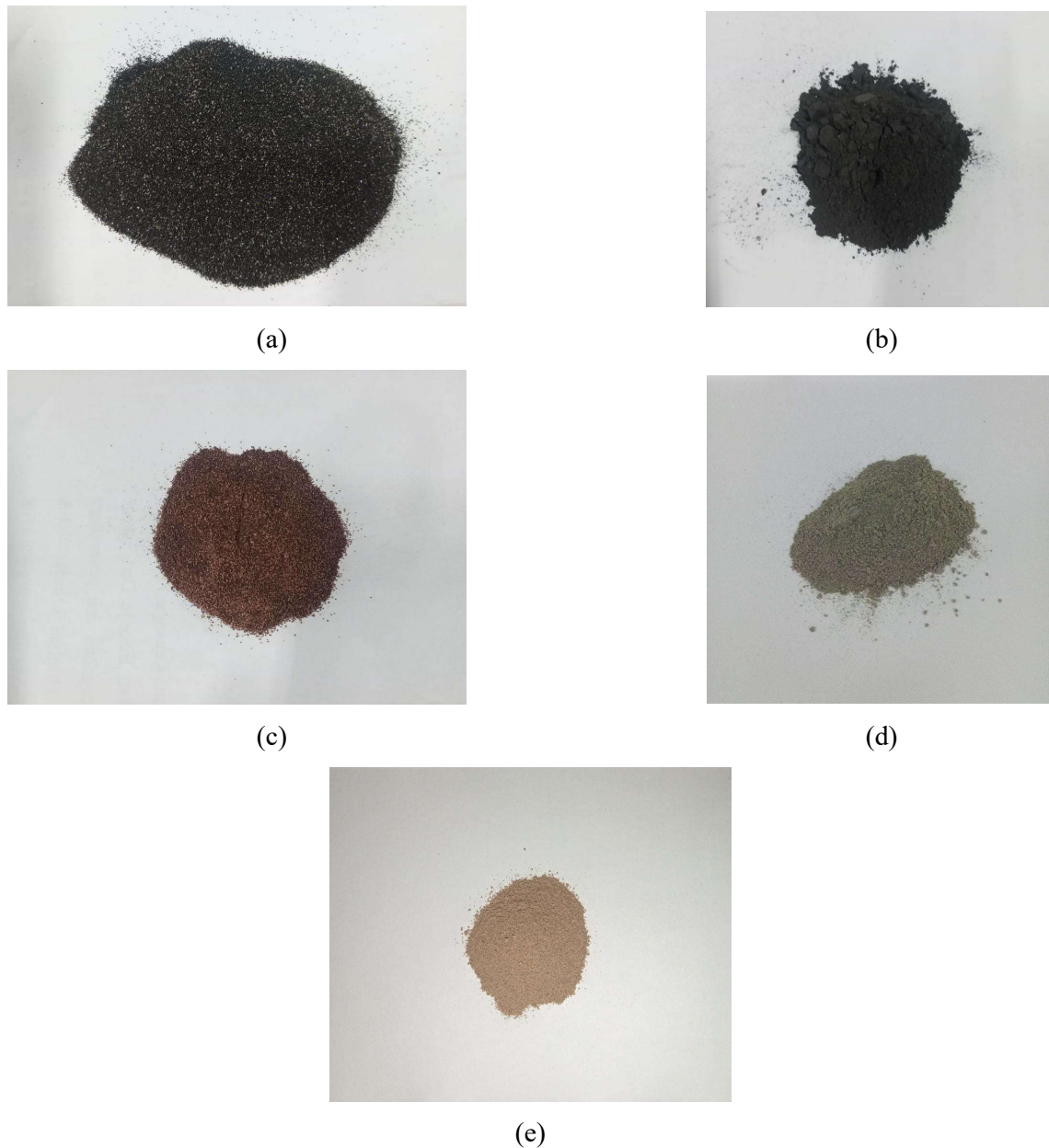
Tabel 3.1. Rencana Target Capaian.

No	Jenis Luaran				Indikator Capaian
	Kategori	Sub Kategori	Wajib	Tambahan	
1	Publikasi ilmiah <sup>2)</sup>	Internasional			Tidak ada
		Nasional Terakreditasi			Tidak ada
		Nasional Tidak Terakreditasi			Tidak ada
2	Pemakalah dalam temu ilmiah <sup>3)</sup>	Internasional		V	Sudah dilaksanakan
		Nasional		V	Sudah dilaksanakan
		Lokal			Tidak ada

3	<i>Invited speaker dalam temu ilmiah<sup>4)</sup></i>	Internasional			Tidak ada
		Nasional			Tidak ada
		Lokal			Tidak ada
4	<i>Visiting Lecturer<sup>5)</sup></i>	Internasional			Tidak ada
5	Hak Kekayaan Intelektual (HKI) <sup>6)</sup>	Paten			Tidak ada
		Paten sederhana			Tidak ada
		Hak cipta			Tidak ada
		Merek dagang			Tidak ada
		Rahasia dagang			Tidak ada
		Desain produk industri			Tidak ada
		Indikasi Geografis			Tidak ada
		Perlindungan varietas tanaman			Tidak ada
		Perlindungan Topografi Sirkuit Terpadu			Tidak ada
6	Teknologi Tepat Guna <sup>7)</sup>				Tidak ada
7	Model/Prototip/Desain/Karya Seni/Rekayasa Sosial <sup>7)</sup>				Tidak ada
8	Buku Ajar (ISBN) <sup>8)</sup>				Tidak ada
9	Tingkat Kesiapan Teknologi (TKT) <sup>9)</sup>		V		3

## BAB 4. HASIL DAN PEMBAHASAN

### 4.1. Ekstraksi TiO<sub>2</sub>



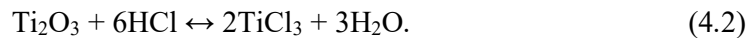
Gambar 4.1. (a) Pasir besi, (b) Pasir besi setelah diayak dengan ayakan 200 mesh, (c) Pasir besi setelah dicampur dengan NaHCO<sub>3</sub> dan di-*roasting* pada suhu 700°C dalam waktu 1 jam, (d) Pasir besi setelah *leaching* dan dikeringkan pada suhu 100°C selama 30 menit dan (e) Pasir besi setelah dikalsinasi pada suhu 480°C selama 5 jam.

Pada Gambar 4.1, ditunjukkan keadaan pasir besi sebagai *raw material* (a), pasir besi setelah diayak dengan ayakan 200 mesh (b), pasir besi setelah dicampur dengan NaHCO<sub>3</sub> dan *roasting* pada suhu 700°C dalam waktu 1 jam (c), pasir besi setelah *leaching* dan dikeringkan pada suhu 100°C selama 30 menit (d) dan pasir besi setelah dikalsinasi pada suhu 480°C selama 5 jam (e).

Adapun reaksi antara pasir besi dan NaHCO<sub>3</sub> sebagaimana disajikan pada Pers.(4.1), (Setiawati dkk, 2013),



Kemudian, reaksi yang terjadi saat titanium dioksida yang ada di dalam ilmenit bereaksi dengan HCl seperti disajikan pada Pers.(4.2) (Purwani dan Suyanti, 2016),



#### 4.2. Variasi Konsentrasi HCl

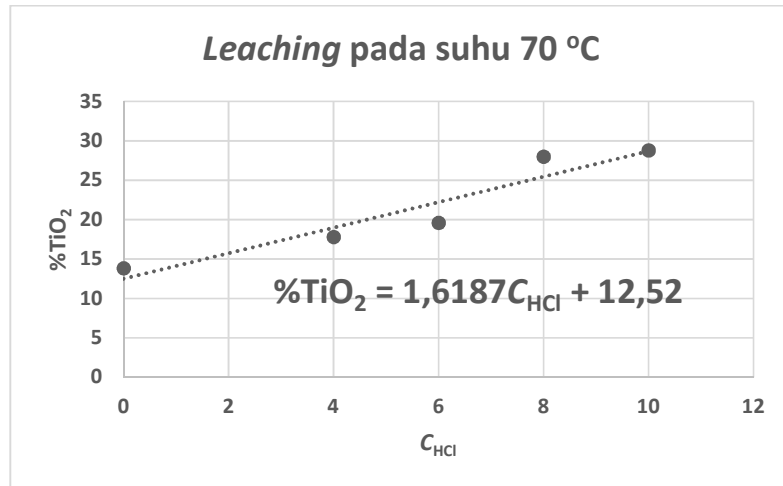
Penelitian pertama yang dilakukan adalah melakukan variasi konsentrasi HCl sebesar 4, 6, 8 dan 10 M pada suhu 70 °C. Suhu 70 °C digunakan pada langkah awal penelitian ini karena pada penelitian sebelumnya (Marjunus, 2020), digunakan suhu *hot-plate* sebesar 110 °C, namun setelah dilakukan re-investigasi, didapatkan suhu larutannya adalah 70 °C. Oleh sebab itu pada penelitian ini diawali dengan penggunaan suhu 70 °C. Hasil karakterisasi XRF dari pasir besi hasil *leaching* pada suhu 70 °C dapat dilihat pada Tabel 4.1. Dari Tabel 4.1 tampak bahwa TiO<sub>2</sub> yang terkandung dalam pasir besi sebelum dilakukan *leaching* sebesar 12.808% dan kandungan *hematite* (Fe<sub>2</sub>O<sub>3</sub>) pada pasir besi sebesar 65.852%. Setelah dilakukan *leaching* dengan HCl, kandungan TiO<sub>2</sub> cenderung naik dan kandungan *hematite* cenderung turun. Hal ini sesuai dengan penelitian Li dkk. (2008) yang menyatakan bahwa konsentrasi asam akan memiliki pengaruh yang signifikan dalam proses *leaching* baik pada titanium maupun besi dari *ilmenite*. Kadar TiO<sub>2</sub> mengalami peningkatan seiring dengan peningkatan konsentrasi HCl yang digunakan. Kadar TiO<sub>2</sub> tertinggi diperoleh pada konsentrasi HCl 10 M yaitu sebesar 28.787%.

Tabel 4.1. Hasil uji XRF pada *raw material* dan sampel yang di-*leaching* dengan variasi konsentrasi HCl sebesar 4, 6, 8 dan 10 M pada suhu 70 °C.

Senyawa	Satuan	Pasir		Konsentrasi HCl			
		Besi		4 M	6 M	8 M	10 M
SiO <sub>2</sub>	%	11,876	9,590	10,370	16,055	29,068	

TiO <sub>2</sub>	%	13,808	17,791	19,567	27,971	28,787
Fe <sub>2</sub> O <sub>3</sub>	%	65,852	66,076	63,346	47,420	33,864
Sisa	%	8,464	6,543	6,717	8,554	8,281

Jika hasil pada Tabel 4.1. diplot pada grafik antara konsentrasi HCl ( $C_{\text{HCl}}$ ) versus prosentase TiO<sub>2</sub> (%TiO<sub>2</sub>) maka sebagaimana disajikan pada Gambar 4.2.

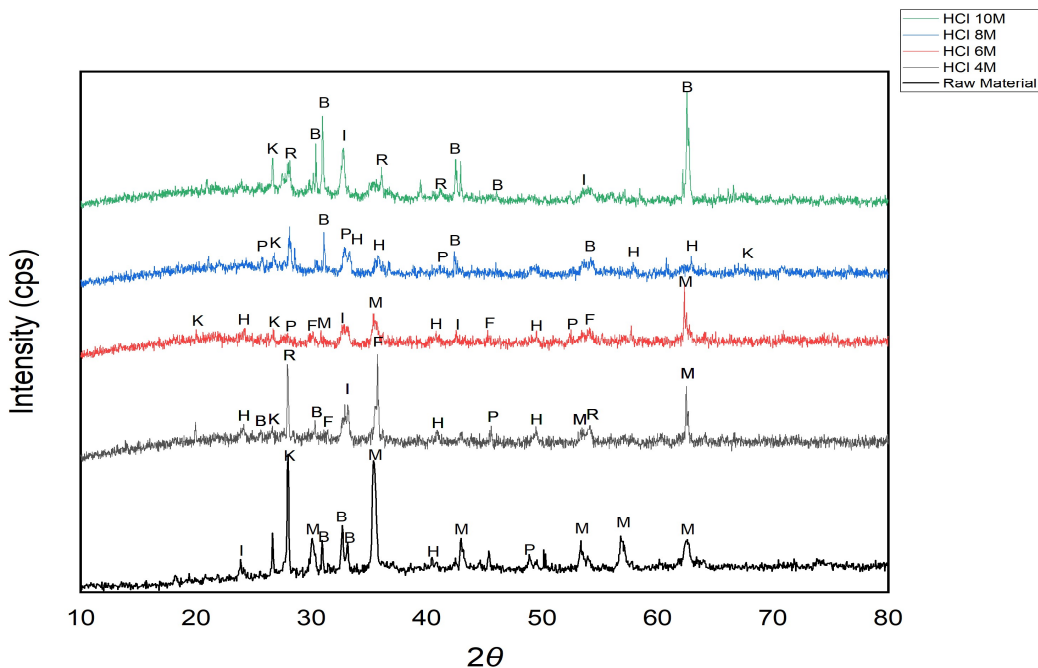


Gambar 4.2. Konsentrasi HCl ( $C_{\text{HCl}}$ ) versus prosentase TiO<sub>2</sub> (%TiO<sub>2</sub>) pada suhu 70 °C.

Dari Gambar 4.2. tampak bahwa adanya ketergantungan linear pada prosentase TiO<sub>2</sub> dengan konsentrasi HCl sebagaimana disajikan pada Pers. (4.3),

$$\% \text{TiO}_2 = 1,6187 C_{\text{HCl}} + 12,52. \quad (4.3)$$

Kemudian, berdasarkan data XRD pada *raw material* dan pada sampel hasil *leaching* menggunakan 4 M, 6 M, 8 M dan 10 M HCl pada suhu 70°C, sebagaimana diberikan pada Gambar 4.3, tampak bahwa pada *raw material* ditemukan TiO<sub>2</sub> dalam fasa brukit. Setelah proses *leaching*, tampak adanya kemunculan fasa rutil. Kemunculan fasa rutil ini sejalan dengan hasil XRF yang menunjukkan bahwa tingkat kemurnian TiO<sub>2</sub> semakin tinggi seiring dengan meningkatnya konsentrasi HCl yang digunakan.

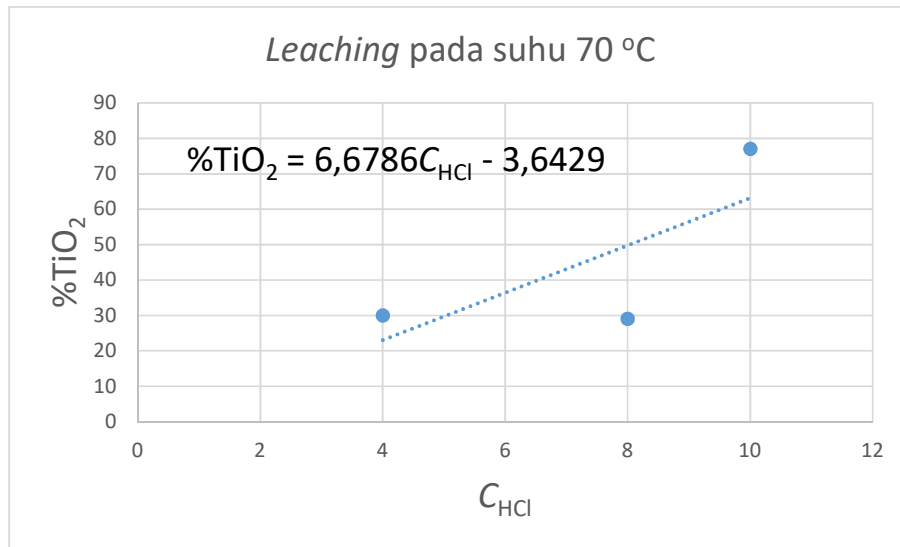


Gambar 4.3. Difraktogram pasir besi sebelum proses *leaching* (*raw material*) dan setelah proses *leaching* selama 2 jam pada suhu 70°C menggunakan 4 M, 6 M, 8 M dan 10 M HCl dengan K: Kuarsa, R: rutil, A: anatase, B: brukit, I: ilmenite, M: magnetit, m: maghemite, F: fayalit, H: hematit dan P: pseudobrukite.

Jika intensitas puncak-puncak brukit dan rutil pada Gambar 4.3 dihitung prosentasenya terhadap total intensitas, maka didapatkan grafik ketergantungan total prosentase fasa brukit dan rutil terhadap variasi konsentrasi HCl sebagaimana diberikan pada Gambar 4.4. Adapun bentuk ketergantungan total prosentase fasa brukit dan rutil terhadap variasi konsentrasi HCl sebagaimana diberikan oleh Pers.(4.4),

$$\% \text{TiO}_2 = 6,6786C_{\text{HCl}} - 3,6429. \quad (4.4)$$

Dari Pers. (4.3) dan Pers. (4.4) terlihat adanya perbedaan ketergantungan prosentase  $\text{TiO}_2$  ( $\% \text{TiO}_2$ ) yang diperoleh pada Pers.(4.3) dan Pers.(4.4). Perbedaan ini disebabkan karena analisis yang dilakukan pada data XRD masih merupakan analisis kualitatif. Walaupun Pers.(4.3) dan Pers.(4.4) tersebut berbeda namun keduanya memiliki kecenderungan yang sama yaitu seiring dengan penambahan konsentrasi HCl ( $C_{\text{HCl}}$ ) maka mengakibatkan kenaikan prosentasi prosentase  $\text{TiO}_2$  ( $\% \text{TiO}_2$ ) pada hasil ekstraksi yang diperoleh.



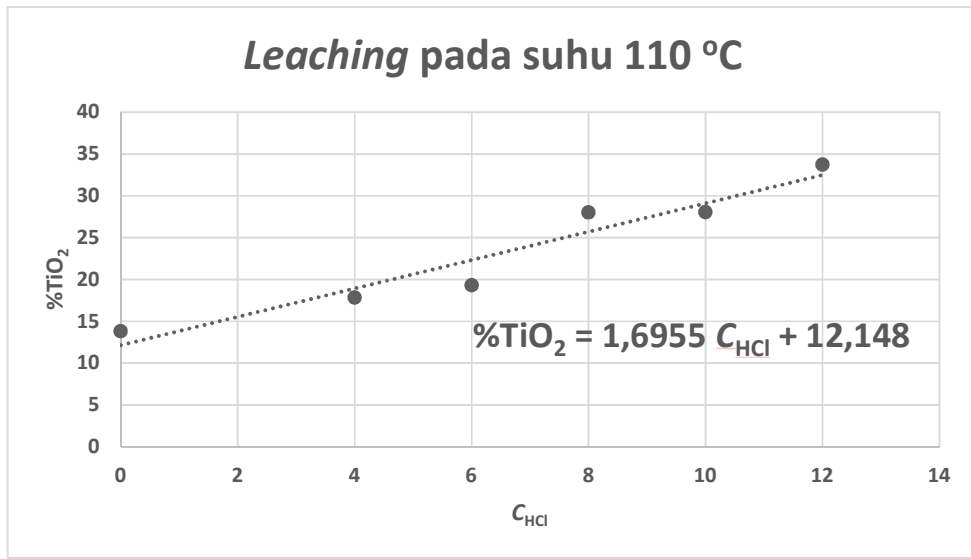
Gambar 4.4. Konsentrasi HCl ( $C_{\text{HCl}}$ ) versus prosentase berbagai fasa  $\text{TiO}_2$  (% $\text{TiO}_2$ ) pada suhu leaching  $70^{\circ}\text{C}$  berdasar data XRD.

Selanjutnya dalam rangka menyempurnakan hasil penelitian pada suhu  $70^{\circ}\text{C}$ , *leaching* juga dilakukan pada suhu  $110^{\circ}\text{C}$ . Hasil XRF sampel pada suhu  $110^{\circ}\text{C}$  dapat dilihat pada Tabel 4.2. Dari Tabel 4.2 tampak bahwa kadar  $\text{TiO}_2$  pada suhu  $110^{\circ}\text{C}$  ini juga mengalami peningkatan seiring dengan peningkatan konsentrasi HCl yang digunakan sebagaimana pada suhu  $70^{\circ}\text{C}$ .

Tabel 4.2. Hasil uji XRF pada *raw material* dan sampel yang di-*leaching* dengan variasi konsentrasi HCl sebesar 4, 6, 8, 10 dan 12 M pada suhu  $110^{\circ}\text{C}$ .

Senyawa	Satuan	Pasir Besi	Konsentrasi HCl				
			4 M	6 M	8 M	10 M	12 M
$\text{SiO}_2$	%	11,876	9,101	11,256	15,775	29,391	25,411
$\text{TiO}_2$	%	13,808	17,833	19,294	27,999	28,036	33,737
$\text{Fe}_2\text{O}_3$	%	65,852	66,967	62,617	47,798	34,112	33,429
Sisa	%	8,464	6,099	6,833	8,428	8,461	7,423

Jika hasil pada Tabel 4.2. diplot antara konsentrasi HCl ( $C_{\text{HCl}}$ ) versus prosentase  $\text{TiO}_2$  (% $\text{TiO}_2$ ) maka sebagaimana disajikan pada Gambar 4.5.



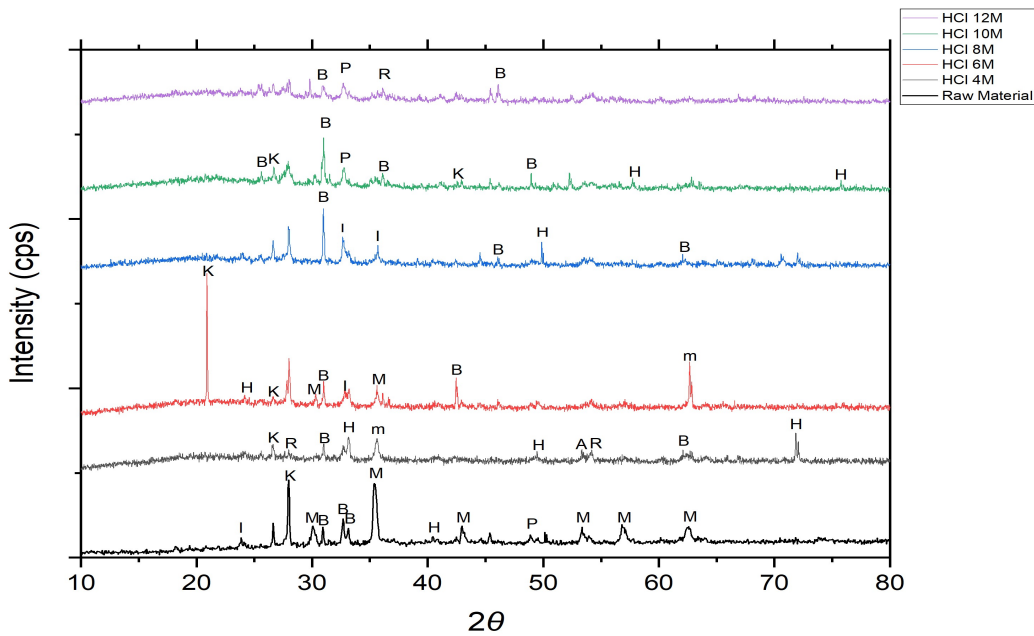
Gambar 4.5. Konsentrasi HCl ( $C_{\text{HCl}}$ ) versus prosentase  $\text{TiO}_2$  (% $\text{TiO}_2$ ) pada suhu 110 °C.

Dari Gambar 4.5. tampak bahwa adanya ketergantungan linear pada prosentase  $\text{TiO}_2$  dengan konsentrasi HCl sebagaimana disajikan pada Pers.(4.5)

$$\% \text{TiO}_2 = 1,6955 C_{\text{HCl}} + 12,148. \quad (4.5)$$

Jika Pers. (4.5) dibandingkan dengan Pers. (4.3), dapat disimpulkan bahwa ketergantungan kemurnian  $\text{TiO}_2$  terhadap variasi konsentrasi HCl tidak terlalu berpengaruh karena perubahan suhu *leaching*.

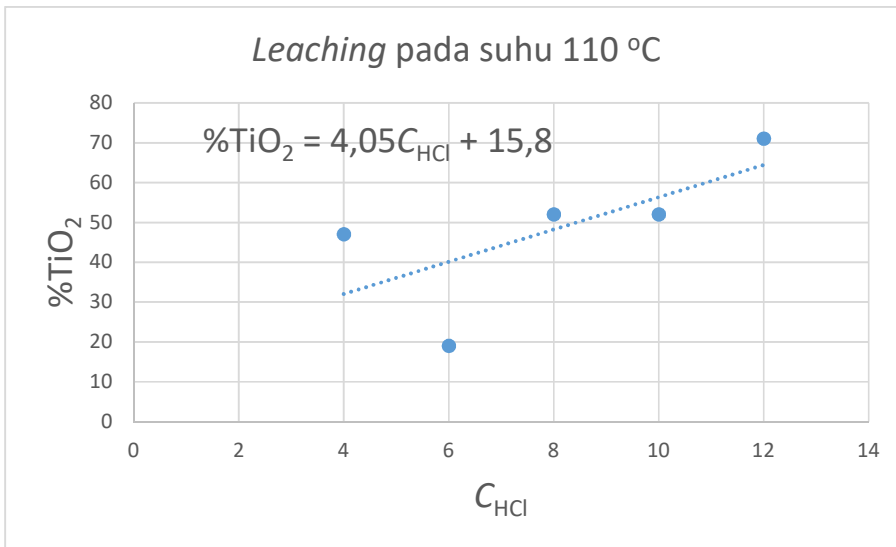
Adapun data XRD untuk sampel hasil *leaching* menggunakan 4 M, 6 M, 8 M, 10 M dan 12 M HCl pada suhu 110°C, sebagaimana diberikan pada Gambar 4.6, tampak bahwa pada *raw material* ditemukan  $\text{TiO}_2$  dalam fasa brukit. Lalu setelah proses *leaching*, tampak adanya kemunculan fasa rutil.



Gambar 4.6. Difraktogram pasir besi sebelum proses *leaching* (*raw material*) dan setelah proses *leaching* selama 2 jam pada suhu 110°C menggunakan 4 M, 6 M, 8 M, 10 M dan 12 M HCl dengan dengan K: Kuarsa, R: rutil, A: anatase, B: brukit, I: ilmenite, M: magnetit, m: maghemite, F: fayalit, H: hematit dan P: pseudobrukit.

Jika intensitas puncak-puncak brukit dan rutil pada Gambar 4.6 dihitung prosentasenya terhadap total intensitas, maka didapatkan grafik ketergantungan total prosentase fasa brukit dan rutil terhadap variasi konsentrasi HCl sebagaimana diberikan pada Gambar 4.7. Dari Gambar 4.7 tersebut tampak ketergantungan total prosentase fasa brukit dan rutil terhadap variasi konsentrasi HCl sebagaimana disajikan pada Pers.(4.6),

$$\% \text{TiO}_2 = 4,05C_{\text{HCl}} + 15,8.. \quad (4.6)$$



Gambar 4.7. Konsentrasi HCl ( $C_{\text{HCl}}$ ) versus prosentase berbagai fasa  $\text{TiO}_2$  (% $\text{TiO}_2$ ) pada suhu *leaching*  $110^{\circ}\text{C}$  berdasar data XRD.

Sebagaimana saat penggunaan suhu *leaching* sebesar  $70^{\circ}\text{C}$ , pada penggunaan suhu suhu *leaching* sebesar  $110^{\circ}\text{C}$  juga terlihat memiliki karakteristik yang sama, yaitu dari Pers. (4.5) dan Pers. (4.6) terlihat adanya perbedaan ketergantungan prosentase  $\text{TiO}_2$  (% $\text{TiO}_2$ ) yang diperoleh pada Pers.(4.5) dan Pers.(4.6). Walaupun Pers.(4.5) dan Pers.(4.6) tersebut berbeda namun keduanya memiliki kecenderungan yang sama yaitu seiring dengan penambahan konsentrasi HCl ( $C_{\text{HCl}}$ ) maka mengakibatkan kenaikan prosentase  $\text{TiO}_2$  (% $\text{TiO}_2$ ) pada hasil ekstraksi yang diperoleh.

Satu hal yang belum dapat dipecahkan dalam penelitian ini adalah kemurnian  $\text{TiO}_2$  yang diperoleh dalam penelitian ini (saat digunakan 12 M HCl) justru lebih rendah daripada penelitian sebelumnya (Marjunus, 2020) yaitu 60,701 %, padahal konsentrasi HCl dan *treatment* lainnya yang digunakan adalah sama dengan penelitian sebelumnya.

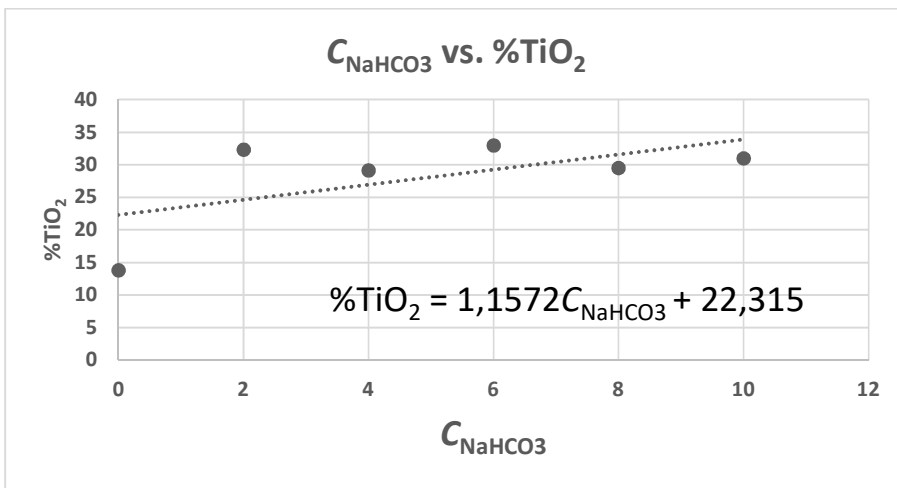
#### 4.3. Variasi Rasio Pasir Besi dan $\text{NaHCO}_3$

Selain dilakukan variasi HCl, dilakukan juga variasi rasio pasir besi dan  $\text{NaHCO}_3$ . Hal ini dimaksudkan untuk mencari rasio yang optimum untuk mendapatkan tingkat kemurnian yang tinggi pada  $\text{TiO}_2$ . Berdasar hasil XRF sebagaimana disajikan pada Tabel 4.3 tampak bahwa prosentasi kemurnian  $\text{TiO}_2$  tidak bergantung secara linear terhadap perubahan rasio antara pasir besi dan  $\text{NaHCO}_3$ . Kemurnian tertinggi terjadi pada rasio 1:6 yaitu sebesar 32,955%

Tabel 4.3. Hasil uji XRF pada *raw material* dan sampel yang di-leaching dengan variasi rasio antara pasir besi dan NaHCO<sub>3</sub> pada suhu 110 °C.

Senyawa	Satuan	Pasir Besi	Pasir Besi : NaHCO <sub>3</sub>				
			1 : 2	1 : 4	1 : 6	1 : 8	1 : 10
SiO <sub>2</sub>	%	11,876	29,902	31,985	26,727	31,973	32,466
TiO <sub>2</sub>	%	13,808	32,324	29,099	32,955	29,477	30,946
Fe <sub>2</sub> O <sub>3</sub>	%	65,852	29,911	32,604	33,443	30,729	28,190
Sisa	%	8,464	7,863	6,312	6,875	7,821	8,398

Jika hasil pada Tabel 4.3. diplot antara konsentrasi NaHCO<sub>3</sub> ( $C_{\text{NaHCO}_3}$ ) versus prosentase TiO<sub>2</sub> (%TiO<sub>2</sub>) maka sebagaimana disajikan pada Gambar 4.8.

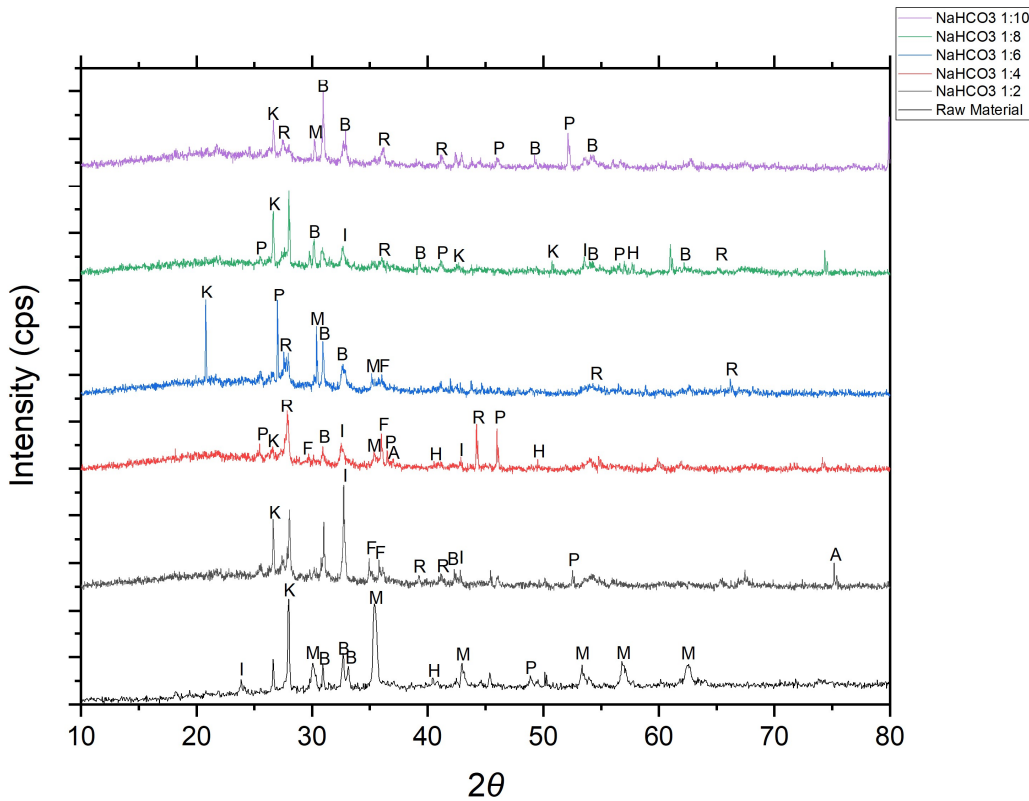


Gambar 4.8. Konsentrasi NaHCO<sub>3</sub> ( $C_{\text{NaHCO}_3}$ ) versus prosentase TiO<sub>2</sub> (%TiO<sub>2</sub>) pada suhu 110 °C.

Dari Gambar 4.8. tampak bahwa adanya ketergantungan linear pada prosentase TiO<sub>2</sub> dengan konsentrasi NaHCO<sub>3</sub> imana disajikan pada Pers.(4.7)

$$\% \text{TiO}_2 = 1,1572C_{\text{NaHCO}_3} + 22,315.. \quad (4.7)$$

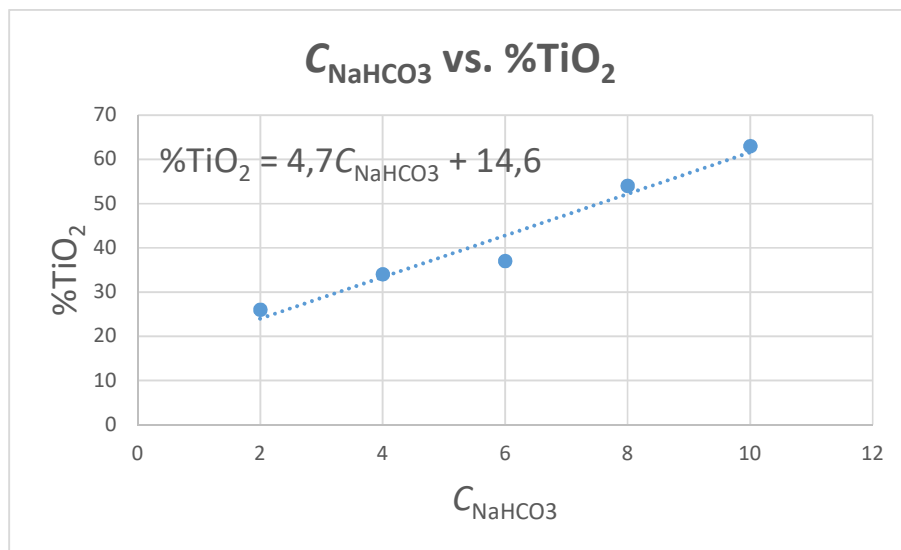
Adapun data XRD untuk sampel hasil *leaching* menggunakan rasio pasir besi dan NaHCO<sub>3</sub> sebesar 1:2, 1:4, 1:6, 1:8 dan 1:10 pada suhu 110°C sebagaimana diberikan pada Gambar 4.9, tampak bahwa pada *raw material* ditemukan TiO<sub>2</sub> dalam fasa brukit. Lalu setelah proses *leaching*, tampak adanya kemunculan fasa rutile dan anatase.



Gambar 4.9. Difraktogram pasir besi sebelum proses *leaching* (*raw material*) dan setelah proses *leaching* selama 2 jam pada suhu 110°C dengan variasi rasio pasir besi dan NaHCO<sub>3</sub> adalah 1:2, 1:4, 1: 6, 1:8, 1:10, dengan K: Kuarsa, R: rutil, A: anatase, B: brukit, I: ilmenite, M: magnetit, m: maghemite, F: fayalit, H: hematit dan P: pseudobrukite.

Jika intensitas puncak-puncak brukit, rutil dan anatase pada Gambar 4.9 dihitung prosentasenya terhadap total intensitas, maka didapatkan grafik ketergantungan total prosentase fasa brukit, rutil dan anatase tersebut terhadap variasi rasio pasir besi dan NaHCO<sub>3</sub> sebagaimana diberikan pada Gambar 4.10. Dari Gambar 4.10 tersebut tampak ketergantungan total prosentase fasa brukit, rutil dan anatase terhadap variasi rasio pasir besi dan NaHCO<sub>3</sub> sebagaimana disajikan pada Pers.(4.8),

$$\% \text{TiO}_2 = 4,7C_{\text{NaHCO}_3} + 14,6 \quad (4.8)$$



Gambar 4.10. Konsentrasi konsentrasi  $\text{NaHCO}_3$  ( $C_{\text{NaHCO}_3}$ ) versus prosentase  $\text{TiO}_2$  ( $\% \text{TiO}_2$ ) pada suhu  $110^\circ\text{C}$  berdasar data XRD.

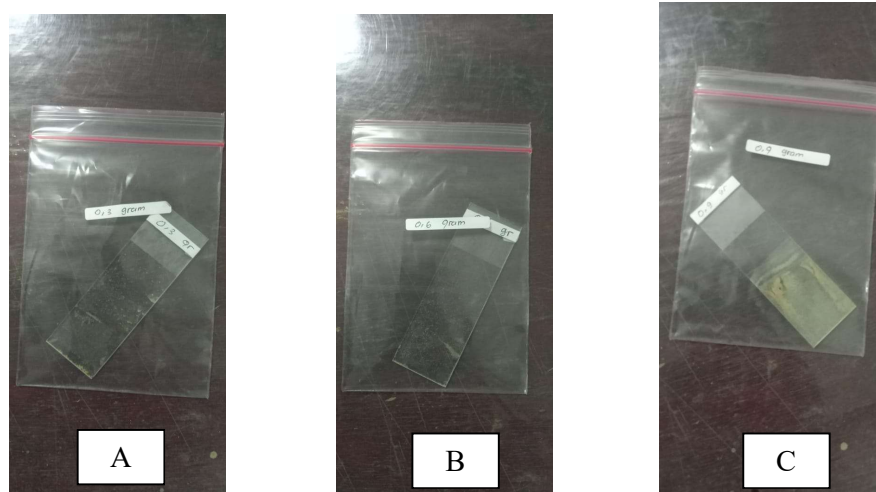
Sebagaimana pembahasan pada variasi  $\text{HCl}$ , pada hasil ini juga tampak adanya perbedaan ketergantungan prosentase  $\text{TiO}_2$  ( $\% \text{TiO}_2$ ) yang diperoleh pada Pers.(4.7) dan Pers.(4.8). Walaupun Pers.(4.7) dan Pers.(4.8) tersebut berbeda namun keduanya memiliki kecenderungan yang sama yaitu seiring dengan penambahan konsentrasi  $\text{NaHCO}_3$  ( $C_{\text{NaHCO}_3}$ ) maka mengakibatkan kenaikan prosentasi prosentase  $\text{TiO}_2$  ( $\% \text{TiO}_2$ ) pada hasil ekstraksi yang diperoleh.

Dengan memperhatikan capaian kadar kemurnian  $\text{TiO}_2$  yang diperoleh dalam penelitian ini, maka untuk penelitian yang akan datang, sangat disarankan untuk menggunakan medan magnet sebelum proses *leaching* dilakukan. Tujuan penggunaan medan magnet ini adalah untuk menarik komponen-komponen pengotor dalam pasir besi yang dapat ditarik oleh medan magnet, sehingga hasil akhir yang diperoleh diharapkan akan lebih bersih dan lebih tinggi kadar kemurnian  $\text{TiO}_2$  nya.

#### 4.4. Hasil Penumbuhan Lapisan Tipis $\text{TiO}_2$

Hasil dari penumbuhan lapisan tipis  $\text{TiO}_2$  sebagaimana disajikan pada Gambar 4.7. Pada penelitian ini dilakukan penumbuhan lapisan tipis  $\text{TiO}_2$  diatas substrat kaca dengan metode *Chemical Bath Deposition* (CBD). Bahan utama yang digunakan adalah serbuk  $\text{TiO}_2$  hasil ekstraksi pada waktu 2 jam dengan suhu  $110^\circ\text{C}$  yang dilarutkan dalam  $\text{HNO}_3$  ditambah etanol

dan substrat kaca sebagai media penumbuhan lapisan tipis TiO<sub>2</sub>. Variasi yang digunakan selama penumbuhan adalah variasi massa TiO<sub>2</sub> sebesar 0,3 g, 0,6 g dan 0,9 g.



Gambar 4.7. Sampel lapisan lipis TiO<sub>2</sub> dengan variasi bubuk TiO<sub>2</sub> sebesar (A) 0,3 g, (B) 0,6 g, (C) 0,9 g.

Setelah proses pencelupan, substrat kaca dikeringkan menggunakan oven pada suhu 100°C selama 1 jam. Sampel selanjutnya dikalsinasi pada suhu 500°C selama 10 jam, kemudian dikarakterisasi. Hasil penelitian menunjukkan bahwa variasi massa TiO<sub>2</sub> mempunyai pengaruh yang sangat jelas terhadap pembentukan lapisan tipis TiO<sub>2</sub>. Pengaruh tersebut terlihat dengan jelas seperti ditunjukkan pada Gambar 4.7. Pada Gambar 4.7, secara visual lapisan TiO<sub>2</sub> yang terbentuk memiliki ketebalan yang berbeda sesuai dengan variasi massa TiO<sub>2</sub> sebesar 0,3 g, 0,6 g dan 0,9 g, semakin banyak massa TiO<sub>2</sub> yang digunakan, semakin tebal dan semakin homogen lapisan tipis TiO<sub>2</sub> yang terbentuk. Namun demikian, tampak terlihat bahwa lapisan yang terbentuk tidak terlalu tebal walaupun proses deposisi sudah dilakukan 2 (dua) kali. Oleh sebab itu, pada penelitian yang akan dating, sangat dianjurkan agar metode pembuatan lapisan tipis hendaknya tidak lagi menggunakan metode CBD (*Chemical Bath Deposition*) karena tidak bisa menghasilkan lapisan tipis yang merata pada substrat. Metode lain yang bisa digunakan misalnya adalah menggunakan *spin coater*.

Kemudian dengan menggunakan metode *four probe* didapatkan resistivitas lapisan tipis untuk setiap variasi massa TiO<sub>2</sub> sebagaimana disajikan pada Tabel 4.4.

Tabel 4.4. Resistivitas lapisan tipis uji XRF pada *raw material* dan sampel yang di-leaching dengan variasi rasio antara pasir besi dan NaHCO<sub>3</sub> pada suhu 110 °C.

No	Massa TiO <sub>2</sub>	$I (\times 10^{-6} \text{ A})$	$V (\text{Volt})$	$\rho (\times 10^6 \Omega\text{cm})$
1	0.3 gram	0,02	0,1855	23,18
		0,02	0,2900	36,25
		0,02	0,3209	40,11
2	0.6 gram	0,02	0,3524	44,05
		0,02	0,3798	47,47
		0,02	0,3888	48,6
3	0.9 gram	0,02	0,1357	16,96
		0,02	0,2139	26,73
		0,02	0,3842	48,02

Berdasarkan Tabel 4.4, tampak bahwa nilai resistivitas ketiga lapisan hampir sama yaitu dengan nilai rata-rata  $36,82 \times 10^6 \Omega\text{cm}$ . Hal ini wajar, karena ketiga lapisan bersumber dari bahan yang sama hanya berbeda pada konsentrasi TiO<sub>2</sub> nya. Selanjutnya, berhubung diharapkan agar lapisan ini tergolong semikonduktor, maka nilai resistivitas ini masih sangat tinggi dibandingkan dengan orde resistivitas semikonduktor. Tingginya nilai resistivitas ini dikarenakan masih rendahnya kadar yang didapatkan pada penelitian ini.

Hal lain yang kiranya dapat disarankan untuk penelitian yang akan datang, sebaiknya substrat yang digunakan adalah *silicon wafer*, karena akan memudahkan dalam proses pemotongan sampel untuk berbagai kepentingan lain.

#### 4.5. Luaran Penelitian

Luaran penelitian yang dicapai dalam penelitian ini adalah sebagai berikut:

1. Laporan Penelitian.
2. Presentasi makalah pada The 3<sup>rd</sup> International Conference on Mathematics and Sciences (IMCs) Tahun 2021 yang dilakukan secara online di Universitas Mulawarman, Samarinda, Kalimantan Timur pada tanggal 12 – 13 Oktober 2021.
3. Submit artikel di Jurnal Ilmiah terakreditasi.

## BAB 5. KESIMPULAN

### 5.1. Kesimpulan

1. Berdasarkan hasil analisis data XRF dan XRD, variasi konsentrasi HCl berpengaruh pada tingkat kemurnian TiO<sub>2</sub> yang diperoleh dari proses *leaching*. Tingkat kemurnian terbesar diperoleh dengan menggunakan 12 M HCl pada suhu 110°C yaitu sebesar 33,737%.
2. Tingkat kemurnian yang diperoleh menggunakan 12 M HCl pada suhu 70°C belum bisa menyamai penelitian sebelumnya yaitu 60,701 %.
3. Berdasarkan hasil analisis data XRF dan XRD, variasi konsentrasi NaHCO<sub>3</sub> berpengaruh pada tingkat kemurnian TiO<sub>2</sub> yang diperoleh dari proses *leaching*. Tingkat kemurnian terbesar diperoleh dengan menggunakan rasio antara pasir besi dan NaHCO<sub>3</sub> sebesar 1:10 pada suhu 110°C yaitu sebesar 30,946%.
4. Variasi massa TiO<sub>2</sub> yang digunakan dalam penelitian ini tidak berpengaruh secara signifikan terhadap resistivitas lapisan tipis yang diperoleh.
5. Nilai resistivitas lapisan tipis yang diperoleh masih sangat tinggi dibandingkan dengan orde resistivitas TiO<sub>2</sub> sebagai semikonduktor karena masih rendahnya kadar TiO<sub>2</sub> yang didapatkan pada penelitian ini.

### 5.2. Saran

1. Untuk meningkatkan kemurnian TiO<sub>2</sub>, maka disarankan untuk menggunakan medan magnet sebelum proses *leaching* dilakukan.
2. Metode pembuatan lapisan tipis hendaknya tidak lagi menggunakan metode CBD (*Chemical Bath Deposition*) karena tidak bisa menghasilkan lapisan tipis yang merata pada substrat. Metode lain yang bisa digunakan misalnya adalah menggunakan *spin coater*.
3. Substrat yang digunakan hendaknya *silicon wafer*, karena akan memudahkan dalam proses pemotongan sampel untuk berbagai kepentingan lain.

## DAFTAR PUSTAKA

- Capone, S., Forleo, A., Franciosi, L., Rella, R., Siciliano, P., Spadavecchia, J., Presicce, D. S. and Taurino, A. M, 2004, Solid state gas sensors: State of the art and future activities, *ChemInform*, 35(29).
- Eisele I. and Burgmair, M., 2000, Work function based field effect devices for gas sensing in Optoelectronic and Microelectronic Materials and Devices, *Proceedings Conference on COMMAD 2000*, pp. 285 – 291.
- Elfanaoui, A., Ihlal, A., Taleb, A., Boulkaddat, L., Elhamri, E., Meddah, M., Bouabid, K. and Portier, X., 2011, The synthesis of TiO<sub>2</sub> thin film by Chemical Bath Deposition (CBD) method, *M. J. CONDENSED MATTER*, Vol. 13, No. 3, pp- 95 – 99.
- Ermawati, R., Naimah, S. dan Ratnawati, E., 2011, Monitoring dan Ekstraksi TiO<sub>2</sub> dari Pasir Mineral, *Jurnal Kimia Kemasan*, Vol. 33, No. 22, pp. 131 – 136.
- Hilman, P. M., Suprapto, S. J., Sunuhadi, D. N., Tampubolon, A., Wahyuningsih, R., Widhyatna, D., Pardiarto, B., Gunradi, R., Franklin, Yudawinata, K., Sutisna, D. T., Dinarsih, D., Sukaesih, Yuningsih, E. T., Candra, Oktaviani, P., Rahmawati, R., Ulfa, R. M., Sukmayana, I. dan Ostman, I., 2014, *Pasir Besi di Indonesia: Geologi, Eksplorasi dan Pemanfaatannya*, Kementerian Energi dan Sumber Daya Mineral, Republik Indonesia.
- Firdaus, I., Stevani, A., Handayani, Y. N., Febriyanti, N. Marjunus, R., Manurung, P., 2021, Synthesis and characterization of TiO<sub>2</sub> from Lampung's Iron Sand using leaching method with temperature variation, *Jurnal Fisika dan Aplikasinya*, in press.
- Li, Z., Yao, Z. J., Haidry, A. A., Plecenik, T., Xie, L. J., Sun, L. C., Fatima, Q., 2018, Resistive-type hydrogen gas sensor based on TiO<sub>2</sub>: A review, *International Journal of Hydrogen Energy*, Volume 43, Issue 45, pp. 21114 – 21132, <https://doi.org/10.1016/j.ijhydene.2018.09.051>.
- Manurung, P., Putri, Y., Simanjuntak, W. and Low, I. M., 2013, Synthesis and characterisation of chemical bath deposited TiO<sub>2</sub> thin-films, *Ceramics International*, Vol. 39, Issue 1, pp. 255 – 259, <https://doi.org/10.1016/j.ceramint.2012.06.019>.
- Marjunus, R., 2018, *Development of Pt-based Sensitive Layer for Carbon Monoxide Work Function Change Based Sensor in Air at Room Temperature*, Ph.D. Dissertation, Universität der Bundeswehr München. Germany.

- Marjunus, R., Simon, S., Wilbertz, Ch., and Hansch, W., 2014, Sensitivity improvement of Pt-based layer as work function based sensor for carbon monoxide in air at room temperature, *Proceeding of IMCS 2014 – The 15th International Meeting on Chemical Sensors*, Buenos Aires, Argentina.
- Marjunus, R., Handayani, Y. N., Stevani, A., Febriyanti, N., Firdaus, I., Manurung, P., 2020, Synthesis and characterization of TiO<sub>2</sub> from Lampung's ilmenite using leaching method with variation of time duration, *Proceeding of The 10th International Conference of Theoretical and Applied Physics (ICTAP) 2020*, Universitas Mataram, Mataram, in process.
- Marjunus, R., Febriyanti, N., Stevani, A., Handayani, Y. N., Firdaus, I., Manurung, P., 2020, Synthesis and Characterization of TiO<sub>2</sub> Thin Film Based on Iron Sand of Lampung Province - Indonesia, *Proceeding of The 1<sup>st</sup> International Symposium on Physics and Applications (ISPA) 2020*, Institut Teknologi Sepuluh November (ITS), Surabaya, in process.
- Maziarz, W., Kusior, A. and Trenczek-Zajac, A., 2016, Nanostructured TiO<sub>2</sub>-based gas sensors with enhanced sensitivity to reducing gases, *Beilstein J. Nanotechnol.*, pp. 1718 – 1726, <https://doi.org/10.3762/bjnano.7.164>.
- Nisar, J., Topalian, Z., Sarkar, A. D., Österlund, L. and Ahuja, R., 2013, TiO<sub>2</sub>-Based Gas Sensor: A Possible Application to SO<sub>2</sub>, *ACS Applied Materials & Interfaces* 5 (17), pp. 8516 – 8522, <https://doi.org/10.1021/am4018835>.
- Purwani, M.V. dan Suyanti, 2016, Model Penyusutan Partikel Pada Pelindian Titanium Dalam Ilmenit Memakai HCl, *Prosiding Pertemuan dan Presentasi Ilmiah - Penelitian Dasar Ilmu Pengetahuan dan Teknologi Nuklir 2016 Pusat Sains dan Teknologi Akselerator*, BATAN - Fakultas Matematika dan Ilmu Pengetahuan Alam, UNS Surakarta.
- Pozos, H.G., Krishna, K.T.V. and de la Luz Olvera Amador, M., 2018, TiO<sub>2</sub> thin film based gas sensors for CO-detection, *Journal of Material Science: Mater Electron* 29, pp. 15829 – 15837, <https://doi.org/10.1007/s10854-018-9477-2>.
- Raza, M. A., Habib, A., Kanwal, Z., Hussain, S. S., Iqbal, M. J., Saleem, M., Riaz, S. and Naseem, S., 2018, Optical CO<sub>2</sub> Gas Sensing Based on TiO<sub>2</sub>, *Advances in Materials Science and Engineering*, Volume 2018, <https://doi.org/10.1155/2018/2780203>.
- Senft, S., Iskra, P., Eisele, I., and Hansch, W., 2011, *Work function - based sensor: Schottky - and FET-based devices (in Chemical Sensors: Comprehensive Sensor Technologies, Editor: G. Korotchenkov)*, Volume 4, Momentum Press.

- Setiawati, L. D., Siswanto dan Rachman, N. T., 2013, Ekstraksi Titanium Dioksida ( $TiO_2$ ) Berbahan Baku Pasir Besi dengan Metode Hidrometalurgi, *Prosiding Semirata Tahun 2013*, FMIPA Unila.
- Simon, S., Marjunus, R., Stimpel – Lindner, T., Wilbertz, Ch., Schmidt, I., Wartmann, J. and Hansch, W., 2012, Pt/Au based sensor with a PMMA-film for detecting CO in a hydrogen atmosphere, *Proceeding of IMCS 2012 – The 14th International Meeting on Chemical Sensors*, pp. 327 – 330.
- Tang, H., Prasad, K., Sanjinés, R., Lévy, F., 1995,  $TiO_2$  anatase thin films as gas sensors, *Sensors and Actuators B: Chemical*, Volume 26, Issues 1–3, pp. 71 – 75, [https://doi.org/10.1016/0925-4005\(94\)01559-Z](https://doi.org/10.1016/0925-4005(94)01559-Z).
- Wahyuningsih, S., Ramelan, A. H., Pramono, E., Argawan, P., Djatisulistya, A., Firdiyono, F., Sulistiyono, E. and Sari, P. P., 2018, The Effects of Leaching Process to the  $TiO_2$  Synthesis from Bangka Ilmenite, *IOP Conf. Series: Materials Science and Engineering*, 333 (2018) 012049, <https://doi.org/10.1088/1757-899X/333/1/012049>.

**PUBLIKASI**

**di**

**The 3<sup>rd</sup> International Conference on Mathematics and Sciences (ICMSc)**

**Universitas Mulawarman**

**Samarinda, 12 – 13 Oktober 2021**



No : 77-LoA/Phy/ICMSc/FMIPA-Unmul/2021

30/09/2021

Subject : Letter of Acceptance

**Dear Roniyus Marjunus**

Thank you for submitting your Abstract and we would like to formally inform you that your abstract entitled:

**“Synthesis and characterization of TiO<sub>2</sub> from Lampung’s iron sand using acid leaching method with variation of HCl concentration”**

has been approved by our Editors and is accepted for presentation at **The 3<sup>rd</sup> International Conference on Mathematics and Sciences (ICMSc)**

which be held at **Science Learning Center, Universitas Mulawarman, Samarinda, East, Kalimantan, Indonesia**. The conference will be conducted hybrid (offline and online using Zoom Application) on October 12-13, 2021.

Please submit your full paper to <http://conference.fmipa.unmul.ac.id/index.php/icmsc/2021> no later than **06 November 2021**.

For further information regarding the specifics of the Conference or please contact us with any questions [conference.fmipa@gmail.com](mailto:conference.fmipa@gmail.com) and Contact Person +62 852 5032 6564 (Meiliyani Siringoringo, S.Si, M.Si)

Yours respectfully,  
Chairperson 3<sup>rd</sup> ICMSC 2021



**Dr. Yanti Puspita Sari, M.Si**



The 3<sup>rd</sup> ICMSc  
2021

International Conference on Mathematics,  
and Science (ICMSc) 2021  
Faculty of Mathematics and Natural Science  
Mulawarman University

# KWITANSI

Nomor : 442/ FMIPA/ 2021

Sudah terima dari : Roniyus Marjunus

Banyaknya uang : Dua ratus lima puluh ribu rupiah

Untuk pembayaran : Registrasi ICMSc 2021 FMIPA Universitas Mulawarman



Terbilang Rp.

250.000,-

Samarinda, Oktober 2021  
Penerima,



Siti Aminah



The 3<sup>rd</sup> ICMSc  
2021

International Conference On Mathematics  
And Sciences

Number : 2360/UN17.7/PP/2021

# CERTIFICATE

## OF ACHIEVEMENT

The 3<sup>th</sup> International Conference on Mathematics and Sciences (ICMSc) 2021  
proudly presents this certificate to

**Roniyus Marjunus**  
as a  
**Presenter**

in the conference that was held in Science Learning Center FMIPA, Mulawarman University,  
Samarinda, East Borneo, Indonesia October 12<sup>th</sup>-13<sup>th</sup> 2021

Theme:

“A brighter future with tropical innovation  
In the application of industry 4.0”

Faculty of Mathematics and Natural Sciences  
Mulawarman University



Dr. Eng. Idris Mandang, M.Si  
Dean FMIPA Mulawarman University



Dr. Yanti Puspita Sari, M.Si  
Chairman



FMIPA UNMUL

The 3<sup>rd</sup> ICMSc

2021

International Conference On Mathematics  
And Sciences



---

**“A brighter future with tropical innovation  
In the application of industry 4.0”**

---

International Conference on Mathematics and Sciences (ICMSc) 2021  
Faculty of Mathematics and Natural Science  
Mulawarman University

# Abstract Book

## The 3rd International Conference on Mathematics and Sciences ICMSc 2021

“A Brighter Future with Tropical Innovation in the Application of Industry 4.0”

Faculty of Mathematics and Natural Sciences, Mulawarman University  
Jl. Barong Tongkok No. 4, Gunung Kelua, Samarinda, East Borneo, Indonesia, 75123

Editor:  
RR Dirgarini Julia Nurlianti Subagyono  
Veliyana Londong Allo  
Imam Rosadi

Cover Design and Picture Design:  
Fajar Hadi Ramadana

Chairman:  
Yanti Puspitasari

## Contents

Foreword from the Dean of Faculty of Mathematics and Natural Sciences, Mulawarman University.....	1
Foreword from the Chairman of Organizing Committee.....	3
Committee .....	4
Venue.....	5
Conference Schedule .....	6
Parallel Session Schedule .....	12
The List of Keynote Speakers .....	25
Biofuel from The Tropical Rainforest .....	26
Multiscale Methods and Analysis for The Highly Oscillatory Nonlinear Klein-Gordon Equation	27
Achieving Green and Sustainable Energy Systems: Techno-Economic Perspectives .....	28
Experiences from regional climate forecasts for the 21st century for the North Sea and its application to Asian waters.....	29
Application of molecular techniques to combat wildlife trade and population management of otters and hornbills in Thailand.....	30
The List of Invited Speakers.....	31
Total Vertex Irregularity Strength of Dodecahedral Graph .....	32
A Simulation Study on the Performance of Robust Lasso.....	33
Investigation of Fiber in the Phenomena Around Us and Its Application Potential in the Future .....	34
Bayesian Spatial and Spatio-Temporal Models on a Small Number of Areas.....	35
Extracting Information from Ocean Waves Statistics.....	36
Potential Use of Black Soldier Fly Larvae Oil .....	37
Degradation of Methylene Blue Using $\text{Fe}_3\text{O}_4\text{-ZnO/WO}_3$ Catalyst.....	38
Comparative Study of Physical and Chemical Properties of Magnetite Synthesized Using Co-Precipitation Method .....	39
A Kinetic Study of Co-Pyrolysis of <i>Botryococcus braunii</i> and Victorian Brown Coal.....	40
Abstracts: Oral Presentations.....	41
Abstracts: Poster Presentations .....	119
General Information.....	121
Sponsor.....	123

## Foreword from the Dean of Faculty of Mathematics and Natural Sciences, Mulawarman University



Assalamu'alaikum wr. wb.

First of all, let us praise and thank the Almighty God, because his blessings and helpings, we are able to gather here to attend this conference.

It is a great pleasure to welcome you all to the 3<sup>rd</sup> International Conference on Mathematics and Sciences (ICMSc 2021) with a theme "A Brighter Future with Tropical Innovation in the Application of Industry 4.0". I am delighted to see that the Faculty of Mathematics and Natural Sciences Mulawarman University has again organized the third international conference that capitalize on our strength and built on our commitment to promoting the researches on mathematics, statistics, physics, geophysics, chemistry, and biology, as well as their applications.

Unlike the previous two seminars, ICMSc 2021 is conducted using a hybrid method, by combining online and offline seminars. This is due to the COVID-19 pandemic which has impacted our lives, including in education and research. As researchers, lecturers and students, we do face many challenges in this pandemic condition and we find it difficult to carry out research in the laboratory due to limited access and the application of very strict health protocols.

I am very happy and proud of all the keynote speakers, invited speakers and oral and poster presenters who remain enthusiastic in carrying out research in the midst of this pandemic and presenting their research results in this seminar.

The conference proudly invites five keynote speakers coming from several countries. Therefore, on behalf of the committee, I would like to express my sincere thanks to them, specifically: Prof. Rizalman Mamat from University Malaysia Pahang; Prof. Bao Weizhu from National University of Singapore; Prof. Thomas Pohlmann from Universität Hamburg, Germany; Assoc. Prof. Dr. Eng. Muhammad Azis, University of Tokyo, and Worata Klinsawat, PhD from KMUTT, Thailand who have high reputation and commitment in their field.

I would also like to thank all invited speakers from different universities in Indonesia, Prof. Dr. Nurdin, S.Si., M.Si, Bagus Sartono, M.Si, PhD, Dr. Handika Dany Rahmayanti, M.Si, Aswi, M.Si., Ph.D., Dr. Muh. Alimuddin Hamzah Assagaf, M. Eng, Dr. Noor Hindryawati, M.Si, Dr. Soerja Koesnarpadi, M.Si, Rudy Agung Nugroho, M.Si, Ph.D, and Dr. RR Dirgarini J N Subagyono, MSc.

Furthermore, I would like to take this opportunity to thank the conference organizing committee who have shown great hard work and determination for this conference. They have all worked since the beginning of 2020 from the planning stage to the implementation stage in the middle of their busy lives as lecturers, laboratory assistants and administrative staff.

I would also like to thank participants, especially those of you coming from abroad, for joining us and sharing your valuable experiences. I do hope that this conference would bring a great

opportunity for all of us to share research experience and knowledge and this conference will give significant contribution to the advancement of our nation.

On this occasion, I would like to apologize to all of you when there are some inconveniences during the conference.

Finally, for all the speakers and participants listed in the 3<sup>rd</sup> ICMSC 2021, have a nice conference and I do hope we can all meet again in the 4<sup>th</sup> ICMSc in 2022.

Wassalamu'alaikum wr. wb.

Best Regards,

Dr. Eng. Idris Mandang, M.Si  
Dean of Faculty of Mathematics and Natural Sciences Mulawarman University

## Foreword from the Chairman of Organizing Committee



Assalamu'alaikum wr. wb.

Dear participants,

The 3<sup>rd</sup> International Conference on Mathematics and Sciences (ICMSc 2021) is an international hybrid conference organized by Faculty of Mathematics and Natural Sciences, Mulawarman University (UNMUL), Samarinda, East Kalimantan, Indonesia. ICMSC 2021 with a theme "A Brighter Future with Tropical Innovation in the Application of Industry 4.0" will cover all key areas in mathematics, statistics, physics, geophysics, chemistry, and biology and the applications.

Previously, two ICMSC series were conducted offline where we could meet face-to-face and exchange information and experiences. In this third ICMSc, the conference is held with a hybrid method due to COVID-19 pandemic where most of us can only meet online. However, I believe that these limitations do not prevent us from sharing experiences, research results and information.

I am very pleased that we have renowned keynote speakers, Prof. Rizalman Mamat from University Malaysia Pahang; Prof. Bao Weizhu from National University of Singapore; Prof. Thomas Pohlmann from Universität Hamburg, Germany; Assoc. Prof. Dr. Eng. Muhammad Azis, University of Tokyo, and Worata Klinsawat, PhD from KMUTT. In this year conference, we also invite Prof. Dr. Nurdin, S.Si., M.Si, Bagus Sartono, M.Si, PhD, Dr. Handika Dany Rahmayanti, M.Si, Aswi, M.Si., Ph.D, Dr. Muh. Alimuddin Hamzah Assagaf, M. Eng, Dr. Noor Hindryawati, M.Si, Dr. Soerja Koesnarpadi, M.Si, Rudy Agung Nugroho, M.Si, Ph.D, and Dr. RR Dirgarini J N Subagyono, MSc from different universities in Indonesia. It is an honor and privilege to have them as speakers as I strongly believe that their contribution would be beneficial to the people working in this field.

For ICMSc 2021, we received 88 abstracts and there are 73 accepted abstract for 72 oral presentations and 1 poster presentation. All accepted articles will be published in a proceeding published by The American Institute of Physics (AIP) Publishing.

I would like to thank all the committee and students involved in this seminar. Thank you for the great teamwork and your time. I would also like to greatly thank PT Badak NGL for financial supports.

On behalf of the organizing committee, I would like to welcome all of speakers and participants. Please enjoy the conference.

Best regards,

Dr. Yanti Puspitasari  
Chair of Organizing Committee

## Committee

### Honorary Board

Prof. Dr. H. Masjaya, M.Si  
 (Rector of Mulawarman University)  
 Dr. Eng. Idris Mandang, M.Si  
 (Dean of Faculty of Mathematics and Natural Sciences, Mulawarman University)  
 Dr. Sri Wahyuningih, M.Si  
 (Vice Dean I of Faculty of Mathematics and Natural Sciences, Mulawarman University)  
 Dr. Chairul Saleh, M.Si

### Organizing Committee

#### **Chairman**

Dr. Yanti Puspita Sari, M.Si

#### **Co-Chairman**

Wasono, S.Si., M.Si

#### **Secretary**

Devina Rayzy P.S.P, S.Si., M.Sc  
 Widha Prahastika, S.Si

Mirna, SE.  
 Iin Yunarti, S.Pd

#### **Treasury**

Suprianto, ST  
 Rahmad Ramadhani Dey, S.IP  
 Siti Aminah, S.Kom

#### **Member**

Rudy Agung Nugroho, M.Si., Ph.D  
 Veliyana Londong Allo, S.Si., M.Si  
 Meiliyani Siringoringo, S.Si., M.Si  
 Irfan Ashari Hiyahara, S.Pd., M.Si  
 Rahmiati, S.Si., M.Sc  
 Surya Prangga, S.Si., M.Si  
 Wahidah, S.Si., M.T  
 Dr. R.R. Dirgarini Julia Nurlianti S, M.Sc  
 Dr. Sifriyani, M.Si  
 Dr. Noor Hindryawati, M.Si  
 Dr. Retno Aryani, M.Si  
 Imam Rosadi, M.Si  
 Dr. Nova Hariani, M.Si  
 Fajar Hadi Ramadana, A.Md  
 Kusnandar, M.Pd., M.Kom  
 Muhammad Fakhrurrozi, S.Kom  
 Asmaidi, S.Pd., M.Si  
 Fidia Deny Tisna Amijaya, S.Si., M.Si

Gatot Afriyanto, S.Sos  
 Muhammad Nurul Huda, S.Si., M.Si  
 Rudianto, S.Si  
 Erlinda Ratnasari Putri, S.Si., M.Si  
 Fedy Harlanto, S.Si  
 Ruli Yuniarto, S.Si  
 M. Rasyid Rahman, S.Stat  
 Arif Sopian  
 Wasdub  
 Dr. Hetty Manurung, M.Si  
 Eko Kusumawati, S.Si., M.P  
 Qonita Qurrota A'yun, S.Si., M.Sc  
 Mukhlis, S.Pd., M.Sc  
 La Jahaja, SE  
 Triyono Widadi, A.Md  
 Ahmad Zarkasi, S.Si., M.Si  
 Dr. Rahmat Gunawan, M.Si  
 Dijan Sunar Rukmi, S.Si., M.Si  
 Riski Indah Wiyani, S.Si

## Venue



**Science Learning Center**  
Faculty of Mathematics and Natural Sciences, Mulawarman University

Jl. Barong Tongkok No. 04 Mulawarman University Campus, Mount Kelua Samarinda  
East Kalimantan, Indonesia 75123

## Conference Schedule

**Day 1:**  
**12 October 2021**

Time - Central Indonesia Time (WITA)	Agenda	Room/Zoom details
08.00 – 09.00	Registration Conference regulation (MC)	Theater Room, SLC (Offline)
09.00– 09.45	Opening Ceremony: <ol style="list-style-type: none"> <li>1. Greeting by Master of Ceremony (Robiansyah &amp; Qonita Qurrota A'yun, S.Si., M.Sc.)</li> <li>2. Indonesian National Anthem: Indonesia Raya</li> <li>3. Traditional dancing by Art Student Creativity Unit, Faculty of Mathematics and Natural Science, Mulawarman University</li> <li>4. Opening remarks:               <ol style="list-style-type: none"> <li>a. Chairman (Dr. Yanti Puspitasari, M.Si)</li> <li>b. Dean of Faculty of Mathematics and Natural Sciences (Dr.Eng. Idris Mandang, M.Si)</li> <li>c. Rector of Mulawarman University (Prof. Dr. H. Masjaya, M.Si)</li> </ol> </li> <li>5. Chanting prayers (Irfan Ashari Hiyahara, M.Si)</li> <li>6. Photo session</li> </ol>	Zoom virtual room (Online) Topic: First session of The 3rd ICMSc, 12 Oct 2021 Join Zoom Meeting <a href="https://bit.ly/ICMSc2021-Day1-Session1">https://bit.ly/ICMSc2021-Day1-Session1</a> Meeting ID: 931 9785 2746 Passcode: ICMSc01
09.45 – 10.00	Break – Interactive Quiz	<a href="http://www.menti.com">www.menti.com</a>
10.00-11.00 (10.00-11.00 MYT)	Plenary Session 1 Keynote Speaker 1: Prof. Rizalman Mamat, University Malaysia Pahang  Moderator: Dr. Noor Hindryawati, M.Si  Handover of certificates to keynote speakers	Theater Room, SLC (Offline) Zoom virtual room (Online) Topic: First session of The 3rd ICMSc, 12 Oct 2021 Join Zoom Meeting <a href="https://bit.ly/ICMSc2021-Day1-Session1">https://bit.ly/ICMSc2021-Day1-Session1</a>

<b>Time - Central Indonesia Time (WITA)</b>	<b>Agenda</b>	<b>Room/Zoom details</b>			
11.00-12.00 (11.00-12.00 SGT)	Plenary Session 1 Keynote Speaker 2: Prof. Bao Weizhu, National University of Singapore  Moderator: Prof. Dr. Nurdin, S.Si., M.Si  Handover of certificates to keynote speakers	Meeting ID: 931 9785 2746 Passcode: ICMSc01			
12.00 - 12.05	Plenary and parallel session sharing information by MC				
12.00 - 13.30	BREAK	SLC (Offline)			
13.30 - 14.30 (07.30-08.30 CEST)	Plenary Session 1 Keynote Speaker 3: Prof. Thomas Pohlmann, Universität Hamburg, Germany  Moderator: Dr. Mustaid, M.Si  Handover of certificates to keynote speakers	Theatre Room, SLC (Offline)  Zoom virtual room (Online) Topic: Second session of The 3rd ICMSc, 12 Oct 2021  Join Zoom Meeting <a href="https://bit.ly/ICMSc2021-Day1-Session2">https://bit.ly/ICMSc2021-Day1-Session2</a>  Meeting ID: 980 0072 8064 Passcode: ICMSc02			
14.30-16.30	<b>Parallel Session</b>				
	<b>Room 1 Mathematics</b> SLC (Offline), Zoom virtual room (Online)  Moderator: Fidia Deny Tisna, M.Si  Invited Speaker: Prof.Dr.Nurdin,SSi,MSi (14.30-14.50)	<b>Room 2 Statistics</b> SLC (Offline), Zoom virtual room (Online)  Moderator: Meiliyani Siringoringo, MSi  Invited Speaker: Bagus Sartono, M.Si, PhD (14.30-14.50)	<b>Room 3 Chemistry</b> SLC (Offline), Zoom virtual room (Online)  Moderator: Irfan Ashari Hiyahara, M.Si  Invited Speaker: Dr.Noor Hindryawati, M.Si (14.30-14.50)	<b>Room 4 Physics &amp; Geophysics</b> SLC (Offline), Zoom virtual room (Online)  Moderator: Dr. Rahmawati, M.Si  Invited Speaker: Dr.Muh.Alimuddin Hamzah Assagaf,M.Eng	<b>Room 5 Biology</b> SLC (Offline), Zoom virtual room (Online)  Moderator: Dr.Dijan Sunar Rukmi, M.Si  Invited Speaker: Rudy Agung Nugroho, M.Si, Ph.D

<b>Time - Central Indonesia Time (WITA)</b>	<b>Agenda</b>			<b>Room/Zoom details</b>	
	Operator: Fedy Harlanto, S.Si	Operator: Ruli Yuniarto, S.Si	Operator: M. Fakhrurrozy, S.Kom	(14.30-14.50)	(14.30-14.50)
19.00 – 21.00	Gala dinner			Masyid Al-Ihsan	Midtown Hotel, Samarinda

**Day 2:**  
**13 October 2021**

Time – Central Indonesia Time (WITA)	Agenda	Room/Zoom details
08.00 – 08.55	Registration Conference regulation (MC)	
08.55-09.00	Opening by MC	
09.00-10.00 (10.00-11.00 JST)	Plenary Session 2 Keynote Speaker 1: Assoc. Prof. Dr. Eng. Muhammad Azis, University of Tokyo  Moderator: Dr. RR Dirgarini Julia Nurlianti S., MSc  Handover of certificates to keynote speakers	Theatre Room, SLC (Offline)  Zoom virtual room (Online) Topic: First session of The 3rd ICMS 13 Oct 2021  Join Zoom Meeting <a href="https://bit.ly/ICMSc2021-Day2-Session1">https://bit.ly/ICMSc2021-Day2-Session1</a>
10.00-11.00 (09.00-10.00 ICT)	Plenary Session 2 Keynote Speaker 2: Worata Klinsawat, PhD, KMUTT, Thailand  Moderator: Rudy Agung Nugroho, PhD  Handover of certificates to keynote speakers	Meeting ID: 949 0912 6864 Passcode: ICMSC03  Interactive Quiz <a href="http://www.menti.com">www.menti.com</a> (the code will be informed prior to the Quiz)
11.00 - 11.15	Break – Interactive Quiz	
11.15 - 11.45	Information session Publication in AIP Publishing (Dr. Rudy Agung Nugroho, M.Si)	
11.45 - 12.00	Parallel session sharing information by MC (Information on the best presenters)	
12.00 – 13.30	BREAK	SLC (Offline)

<b>Time - Central Indonesia Time (WITA)</b>	<b>Agenda</b>			<b>Room/Zoom details</b>	
13.30-15.15	<p style="text-align: center;">Parallel Session Theatre Room, SLC (Offline)</p> <p style="text-align: center;">Zoom virtual room (Online) Topic: Second session of The 3rd ICMSc, Oct 13th 2021</p> <p style="text-align: center;">Join Zoom Meeting <a href="https://bit.ly/ICMSc2021-Day2-Session2">https://bit.ly/ICMSc2021-Day2-Session2</a></p> <p style="text-align: center;">Meeting ID: 916 4639 1087 Passcode: ICMSC04</p>				
	<b>Room 1</b> <b>Mathematics/ Statistics</b> SLC (Offline) Zoom virtual room (Online)  Moderator: Fidia Deny Tisna, M.Si  Operator: Fedy Harlanto, S.Si	<b>Room 2</b> <b>Statistics 1</b> SLC (Offline) Zoom virtual room (Online)  Moderator: Meiliyani Siringoringo, M.Si  Invited Speaker: Aswi, M.Si., Ph.D (13.30-13.50)  Operator: Ruli Yuniarto, S.Si	<b>Room 3</b> <b>Chemistry</b> SLC (Offline) Zoom virtual room (Online)  Moderator: Dr. Noor Hindryawati, MSi  Invited Speaker: Dr. RR Dirgarini J N Subagyono, MSc (13.30-13.50)  Dr. Soerja Koesnarpadi, MSi (13.50-14.10)  Operator: Muhammad Fakhrurrozy, S.Kom	<b>Room 4</b> <b>Physics and Geophysics</b> SLC (Offline) Zoom virtual room (Online)  Moderator: Dr. Rahmawati, M.Si  Invited Speaker: Dr. Handika Dany Rahmayanti, M.Si (13.30-13.50)  Operator: M. Rasyid Rahman, S.Si	<b>Room 5</b> <b>Statistics 2</b> SLC (Offline) Zoom virtual room (Online)  Moderator: Qonita Qurrota A'yun, S.Si., M.Sc  Operator: Rudianto, S.Si

<b>Time - Central Indonesia Time (WITA)</b>	<b>Agenda</b>	<b>Room/Zoom details</b>
15.15 – 16.00	<p>Closing Ceremony</p> <ol style="list-style-type: none"> <li>1. Greeting by Master of Ceremony (Muhammad Robiansyah &amp; Qonita Qurrota A'yun, S.Si., M.Sc.)</li> <li>2. Traditional dancing by Art Student Creativity Unit, Faculty of Mathematics and Natural Science, Mulawarman University</li> <li>3. Announcement of the best speakers</li> <li>4. Closing remarks: Dean of Faculty of Mathematics and Natural Sciences (Dr.Eng. Idris Mandang, M.Si)</li> <li>5. Photo Session</li> <li>6. Evaluation</li> </ol>	<p>Theatre Room, SLC (Offline)</p> <p>Zoom virtual room (Online)</p> <p>Topic: Second session of The 3rd ICMSc, Oct 13th 2021</p> <p>Join Zoom Meeting <a href="https://bit.ly/ICMSc2021-Day2-Session2">https://bit.ly/ICMSc2021-Day2-Session2</a></p> <p>Meeting ID: 916 4639 1087 Passcode: ICMSC04</p>

Date : October 12, 2021 (Day 1)  
 Room : Science Learning Center, Floor 1, Theater Room (Physics and Geophysics)  
 Moderator : Dr. Rahmawati, M.Si  
 Operator : M. Rasyid Rahman, S.Si

No	Code	Authors	Title	Time
1	IVT4	Dr. Muh. Alimuddin Hamzah Assagaf, M. Eng	Extracting Information from Ocean Waves Statistics	14.30 - 14.50
2	343	Rahmawati - Munir, Nadya - Amalia, Rahmiati - Munir	Physics Laboratory by Video Tracker and Visual Basic for Application at Home During Covid-19 Pandemic: Material Elasticity Measurement	14.50 - 15.00
3	368	Diena Noviarini	The Future of Palm Tree Plantation Using Power Self Generation on Wiring Telecommunication As Outcome of Plant Output	15.00 - 15.10
4	369	Diena Noviarini, Eko Arif Syaefuddin	SNI Standard Freight Software Design With Social Platform Media For Cost Efficiency And Effectiveness For Product Advantages For Cooperative Found MSME Products	15.10 - 15.20
5	390	Diena Noviarini	Integration Of Indonesian Regional Head Election General Election Information System Using Online Real Time Basis Ssystem With Touchscreen Fingerprint	15.20 - 15.30
6	408	Irvin Dayadi	The Effect Of Wood Width, Thickness, And Length On Static Bending Of Red Meranti (Shorea Sp.)	15.30 - 15.40
7	430	Mislam Mislam, Devina Rayzy Perwitasari Sutaji Putri, Piter Lepong, Djayus Djayus, Asmaidi Asmaidi	Utilization of 3-Dimensional Watershed Model to Support Disaster Mitigation Learning System	15.40 - 15.50
8	423	Rahmawati - Munir, Ahmad - Zarkasi, Erlinda Ratnasari Puteri, Wahidah - Wahidah, Idris - Mandang	Improvement Physical Science Interest for Elementary Students in SDN 22 Samarinda by Basic Measurement Learning	15.50 - 16.00

No	Code	Authors	Title	Time
9	427	Rani Chahyani, Abdul Manan	The effect of truncating the Taylor series terms toward derivative results of the Complex Conjugate Approach and its applications in Geophysics and Statistics	16.00 - 16.10
10	442	Roniqus Marjunus	Synthesis and characterization of TiO <sub>2</sub> from Lampung's iron sand using acid leaching method with variation of HCl concentration	16.10 – 16.20



The 3<sup>rd</sup> ICMSc  
2021

International Conference on Mathematics,  
and Science (ICMSc) 2021  
Faculty of Mathematics and Natural Science  
Mulawarman University

# KWITANSI

Nomor : 2-ICMSc/Pub/2021

Sudah terima dari : Dr. rer. nar. Roniyus Marjunus, S.Si., M.Si.

Banyaknya uang : Satu Juta Lima Ratus Ribu Rupiah

Untuk pembayaran : Pembayaran Biaya Publikasi Proceeding ICMSc 2021



Terbilang Rp.

Rp. 1.500.000,-

Samarinda,  
Penerima, 11/10/2021



Meiliyani Siringoringo, M.Si

**RENCANA PUBLIKASI**

**di**

**Jurnal Ilmiah Pendidikan Fisika Al-Biruni  
Universitas Islam Negeri Radin Inten Lampung**

